

# Berechnung von Rahmenkonstruktionen mit mehreren Mittelstützen

sowie vollständige Durchführung der Berechnung eines Rahmens mit Eiseneinlagen und einer quadratischen Platte mit Wasserbehälter aus Eisenbeton.

Von

**Dr.-Ing. Heinrich Pilgrim**  
in Stuttgart.

Mit 30 Abbildungen im Texte.

INŻ. I. STELLA SAWICKI  
AUTOR, INŻYNIER CYWILNY  
KORCES, BUDOWNICZY.

---

Wiesbaden  
C. W. Kreidel's Verlag  
1912.

Von demselben Verfasser erschienen in C. W. Kreidel's Verlag in Wiesbaden:

Theoretische Berechnung  
**der Eisenbeton-Konstruktionen**  
mit ausführlichen Beispielen.

Von

**Heinrich Pilgrim,**  
Ingenieur.

46 Seiten mit 77 Abbildungen.

Preis 2 M. 80 Pf.

---

Vollständige  
theoretische und praktische Berechnung  
**der Eisenbeton-Konstruktionen**  
mit genauer Gewölbe- und Rahmenberechnung  
und ausführlichen Beispielen.

Von

Dr.-Ing. **Heinrich Pilgrim.**

100 Seiten mit 140 Textabbildungen.

Preis 8 M.

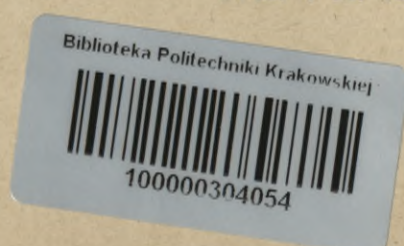
---

Gewölbe-, Rahmen- und kontinuierliche Berechnung  
von  
**Eisenbeton- und Eisenkonstruktionen**  
mit  
Anwendung auf praktische Beispiele.

Von Dr.-Ing. **Heinrich Pilgrim** in Stuttgart.

88 Seiten mit 120 Abbildungen im Texte.

Preis 6 M. 65 Pf.



# Berechnung von Rahmenkonstruktionen mit mehreren Mittelstützen

sowie vollständige Durchführung der Berechnung eines Rahmens mit Eiseneinlagen und einer quadratischen Platte mit Wasserbehälter aus Eisenbeton.

Von

Dr.-Ing. **Heinrich Pilgrim**  
in Stuttgart.

Mit 30 Abbildungen im Texte.

INŻ. I. STELLA SAWICKI  
AUTOR. INŻYNIER CYWILNY  
KONCES. BUDOWNICZY.

Wiesbaden  
C. W. Kreidel's Verlag  
1912.

Akt. Nr. 1



IV 35164

mit Wasserbehälter aus Eisenbeton.  
Rahmens mit Eisenriegeln und einer quadratischen Platte  
sowie vollständige Durchbildung der Berechnung eines

Mit 30 Abbildungen im Texte.

1912  
C. W. Kiehl's Verlag  
Wienbaden

# Vorwort.

In der folgenden Abhandlung über die Berechnung von Rahmenkonstruktionen mit mehreren Mittelstützen, welche als bedeutend erweiterter Sonderabdruck aus Heft 3 von 1912 der Hannoverschen „Zeitschrift für Architektur und Ingenieurwesen“ bei C. W. Kreidel in Wiesbaden erscheint, ist die in meinen früheren Veröffentlichungen von 1910 und 1911 (aus demselben Verlag) enthaltene Rahmenberechnung vervollständigt worden, indem dieselbe nicht nur bei zwei, sondern auch bei mehreren Mittelstützen angewendet werden kann.

Hierbei werden die vertikalen Stützendrücke diskontinuierlich berechnet, und die Horizontalkräfte nach dem Hebelgesetz auf sie übertragen, und die Richtigkeit dieser Berechnungsweise geht aus dem Beispiel eines Güterschuppens mit zwei Gelenken und zwei Mittelstützen deutlich hervor, und zwar durch die Uebereinstimmung der Stützendrücke und der Momente an den Ecken desselben mit deren Berechnung für das dreifach statisch unbestimmte System (bei Annahme von Gelenken an den Mittelstützen). Demnach kann die von mir veröffentlichte Rahmenberechnung ganz allgemein (auch bei beliebig vielen Mittelstützen) angewendet werden, und der große Vorteil dieser Berechnungsweise liegt darin, daß jede beliebige Rahmenkonstruktion mit einfachen Formeln berechnet werden kann (bei bogenförmigen und unsymmetrischen Rahmenkonstruktionen ist hierbei das einfache Verfahren nach Professor Dr. Mörsch anzuwenden), welche für alle Fälle (bei Eingespanntsein oder mit Gelenken) gleichartig lauten, und von jedermann leicht zu gebrauchen sind, und zwar ohne das Vorkommen von Fehlern, wenn nur die Vorzeichen richtig eingesetzt werden.

Dies geht aus dem folgenden Beispiel eines zweistieligen Rahmens mit zwei Gelenken hervor, aus welchem der ganze Gang der Berechnung mit Eiseneinlagen zu ersehen ist, und durch die vollständige Anwendung der obigen Formeln (vgl. Gewölbe-, Rahmen- und kontinuierliche Berechnung von Eisenbeton- und Eisenkonstruktionen 1911, worin auf Seite 5 und 11:  $M_0 = -1(a-x)$  für die Lasten 1 einzusetzen ist, s. Abb. 8) der Beweis für ihre praktische Verwendung gegeben ist (die Ableitung der Hauptformeln nach Professor Dr. Müller-Breslau ist gleichfalls angegeben).

Die Aufzeichnung der Stützlinie für die berechneten Kämpferdrücke hat ferner meine Annahme über die Art der Spannungen für positive und negative Momente vollständig bestätigt (vgl. Vollständige theoretische und praktische Berechnung der Eisenbetonkonstruktionen 1910, S. 90), und zeigt auch deutlich die Zusammensetzung der einzelnen Kräfte mit den durch die Gelenke gehenden Kämpferdrücken. Dieselbe ist daher auch bei Verwendung der von mir angeführten Formeln nicht nötig, indem es genügt, wenn die positiven oder negativen Momente  $M_x$ , die Normalkräfte  $N_x$  sowie die Abstände der Stützlinie aus  $c = \frac{M_x}{N_x}$  berechnet werden, und dadurch auch die Eiseneinlagen (nach den Formeln in der Berechnung der Eisenbetonkonstruktionen von 1906 und 1910) bestimmt sind.

Das zweite Beispiel behandelt gleichfalls eine schwierige Aufgabe in der Berechnung einer quadratischen Platte mit kreuzweisen Eiseneinlagen, und als Einleitung hierzu habe ich die nötigen Formeln abgeleitet, wie sie auch von Professor Dr. Barkhausen (s. Theorie der Verbundbauten in Eisenbeton, S. 15) angewendet worden sind, und als Koeffizienten der Momente  $\frac{1}{1 + \frac{a^3}{b^3}}$  statt  $\frac{1}{1 + \frac{a^4}{b^4}}$  ergeben, indem bei Ableitung des letzteren die vierseitige Auflagerung

der Platte nicht berücksichtigt ist. Die Berechnung des auf dieser Platte ruhenden Wasserbehälters aus Eisenbeton zeigt dessen allgemeine Verwendbarkeit, und hat einen um so größeren praktischen Wert, als die Platte mit Wasserbehälter bei dem Wasserwerk in Tübingen zur Ausführung gekommen ist, und daher auch für ähnliche Bauten als Vorgang dienen kann.

Stuttgart, im Mai 1912.

Dr.-Ing. Heinrich Pilgrim.



# Inhaltsübersicht.

---

	Seite
Einleitung: Zusammenstellung der Berechnungsgrundlagen für die Gewölbe-, Rahmen- und kontinuierliche Berechnung mit Eiseneinlagen .....	1
I. Berechnung von Rahmenkonstruktionen mit mehreren Mittelstützen .....	4
1. Resultate der Rahmenberechnung für zwei Mittelstützen .....	4
2. Anwendung derselben auf die Berechnung für mehrere Mittelstützen .....	5
II. Berechnung eines zweistieligen Bahnsteigdaches mit zwei Gelenken .....	8
1. Berechnung des Bahnsteigdachs mit Bimsbetondecke .....	8
2. Berechnung des Zweigelenkrahmens mit Eiseneinlagen .....	10
3. Auftragen der Stützlinien und Ableitung der Hauptformeln .....	14
III. Berechnung einer quadratischen Unterlagsplatte für einen Wasserbehälter .....	16
1. Ableitung der Formeln und Berechnung für die quadratische Platte .....	16
2. Berechnung des Wasserbehälters mit Eiseneinlagen .....	20





## Einleitung.

Aus Anlaß meiner vierten Veröffentlichung über die Berechnung und Ausführung von Eisenbetonkonstruktionen möchte ich noch einmal die praktischen Ergebnisse meiner bisherigen Veröffentlichungen kurz zusammenfassen.

In der „Theoretischen Berechnung der Betoneisenkonstruktionen 1906“ sind die Formeln für einfache Biegung und exzentrische Beanspruchung abgeleitet worden, und sind dieselben ganz allgemein anwendbar, indem sie mit den Leitsätzen des Deutschen Architekten- und Ingenieurvereins sowie den preußischen Bestimmungen von 1904 übereinstimmen und auch in die Württembergischen Vorschriften für die Berechnung von Eisenbetonkonstruktionen von 1909 aufgenommen worden sind.

Dieselben wurden ohne Berücksichtigung der Zugspannungen des Betons aus den allgemeinen Bedingungen des Gleichgewichtes abgeleitet, und zur Vergleichung sind auch kleine Zugspannungen des Betons bis zu  $4 \text{ kg/qcm} = \frac{\sigma_b}{10}$  (wenn  $\sigma_b = 40 \text{ kg}$  zulässig ist) hierbei berücksichtigt worden, was bei Mitwirkung von kleinen Zugspannungen des Betons zulässig ist, wenn dies auch im allgemeinen vernachlässigt wird. Denn die konstant mitwirkende Zugspannung des Betons reduziert besonders die Eisenspannungen, und wenn (statt  $\frac{\sigma_b}{10}$ ) mit  $\frac{\sigma_b}{z}$  gerechnet und  $z$  hierbei  $= \frac{\sigma_b}{12}$  gesetzt wird (weil  $12 \text{ kg/qcm}$  der konstanten Mitwirkung des Zugbetons entspricht), so erhält man die bei Versuchen eintretenden Spannungen des Eisens und Betons (wie auch der Wert von  $12 \text{ kg}$  aus Versuchen abgeleitet worden ist, s. „Eisenbetonbau“ von Mörsch 1906, S. 97 und 98).

Dies wird in der „Vollständigen theoretischen und praktischen Berechnung der Eisenbetonkonstruktionen mit genauer Gewölbe- und Rahmenberechnung 1910“ näher ausgeführt, und die früher entwickelten Formeln werden hier noch einmal kurz zusammengefaßt (wie sie auch in den Württembergischen Vorschriften der Eisenbahnverwaltung enthalten sind), und dadurch ihre praktische Verwertung bei Berechnung der Spannungen sowie der Dimensionierung von Bauwerken ermöglicht. Die Berechnung für beliebige Eisen- und Betonquerschnitte (auch für einfache Biegung und exzentrische Beanspruchung) geht dann aus den folgenden Formeln hervor, welche ganz analog abgeleitet worden sind, und deren praktische Anwendung auf Gewölbe, Kamine usw. aus Beispielen ersichtlich ist.

Die wissenschaftliche Ableitung der Bügelberechnung, welche auch in Uebereinstimmung mit den Versuchen steht, ergibt die einfache Formel für den Bügelabstand  $e = \frac{\sigma_e \cdot f_e}{b \cdot \tau_0} = \frac{1000 f_e}{b \cdot 4,5 (3,0)}$ , wo  $f_e =$  Bügelquerschnitt,  $b =$  Breite des Balkens ist, und derselbe wird konstant und in der Mitte (bei abnehmenden  $\tau_0$ ) etwas größer angenommen (s. „Eisenbetonbau“ von Mörsch 1908, S. 198).

Bei der Gewölbeberechnung können zunächst die allgemeinen Formeln nach Tolkmitt und anderen (wie sie auch in der „Hütte“ und sonstigen Kalendern enthalten sind) zur Bestimmung der Scheitel- und Kämpferstärken verwendet werden. Aus der vorläufig angenommenen Form des Gewölbes ergibt sich alsdann die Aufzeichnung der Stützlinie für das Eigengewicht und die halbe gleichförmig verteilte Verkehrsbelastung (bzw. auch für das Eigengewicht allein), und wenn dieselbe als Mittellinie des Gewölbes mit der zunehmenden Stärke  $\frac{c}{\cos \varphi}$  ( $c =$  Scheitelstärke) angenommen wird,

so können zur Prüfung noch die Stützlinien für einseitige Belastung (durch das äußere und innere Drittel der Kämpferfugen und die Mitte der Scheitelfuge) sowie für Eigengewicht und Vollbelastung durch das obere und untere Drittel der Kämpferfugen und durch das untere und obere Drittel der Scheitelfuge (Maximal- und Minimallinie) gezeichnet werden.

Wegen der auftretenden Temperaturspannungen ist wenigstens bei Beton- und Eisenbetongewölben eine genaue Berechnung nach der Elastizitätslehre zu empfehlen, und bei flachen Bögen genügt es, mit der halben Temperaturspannung im Kämpfer und der ganzen im Scheitel zu rechnen (weil bei letzterem die Erwärmung wegen der geringen Ueberschüttungshöhe größer ist), während das Widerlager ohne dieselbe berechnet werden kann (bei hohen Bögen wird die Temperaturspannung viel kleiner, und kann sie daher auch am Kämpfer voll gerechnet werden).

Die Formeln für die Gewölbeberechnung (welche auch für beliebige Rahmenkonstruktionen gelten) bestimmen zunächst den Abstand der  $x$ -Achse vom Scheitel aus  $z = \frac{\sum w \cdot y'}{\sum w}$ , wo  $w = \frac{s}{J}$ ,  $s =$  Länge des mittleren Bogenteils der

Lamellen,  $J = \frac{b \cdot h^3}{12} =$  Trägheitsmoment für die mittlere Höhe derselben,  $x$  und  $y$  Abszissen und Ordinaten für ihre Mittelpunkte und  $y'$  Abstand derselben vom Scheitel ist. Für das so bestimmte Koordinatensystem gelten beim eingespannten Gewölbe (oder Rahmen) die folgenden Formeln:

$$H = \frac{\int \frac{M_0 y}{J} \cdot ds + E \alpha \tau l}{\int \frac{y^2 ds}{J} + \int \frac{ds}{F}}, \quad V = \frac{\int \frac{M_0 x}{J} \cdot ds}{\int \frac{x^2 ds}{J}}, \quad M = \frac{\int \frac{M_0 ds}{J}}{\int \frac{ds}{J}},$$

worin  $ds$  dem obigen  $s$  entspricht,  $\frac{ds}{J} = w$  ist.

Da hierbei freie Beweglichkeit des linken Auflagers und Eingespanntsein des rechten Auflagers angenommen ist, so gelten für die Einzellasten  $= 1^t$  die Momente  $M_0 = -1(a-x)$  (wo  $a-x =$  Abstand der Kraft von den Lamellenmitten rechts ist), und hieraus erhält man die Einflußlinien für  $H$ ,  $V$  und  $M$ , mit deren Ordinaten die Einzellasten oder die gleichförmige Belastung zu multiplizieren sind. Die so erhaltenen Werte sind dann in die Formel der Momente für die Fugenmitten  $M_x = M + M_0 - H \cdot y - V \cdot x$  ( $M_0 =$  statisches Moment der linksseitigen Lasten) einzusetzen, und zwar  $y$  und  $x$  mit den Vorzeichen des angenommenen Koordinatensystems. Ferner ist die Normalkraft senkrecht zur Fuge  $N_x = V_x \cdot \sin \varphi + H_x \cdot \cos \varphi$ , wo  $V_x = V - \sum P$  und  $H_x = H - \sum H$  ist (bei vertikaler Belastung ist  $H_x = H$ ), die Schubspannung der Fuge ist  $T_x = V_x \cdot \cos \varphi - H_x \cdot \sin \varphi$ , und der Abstand der Stützlinie von der Fugenmitte (in der Richtung der Fuge) ist  $c = \frac{M_x}{N_x}$ , und zwar für dasselbe Vorzeichen von  $M_x$  und  $N_x$  positiv und nach außen und für verschiedenes Vorzeichen negativ und nach innen aufzutragen. Die Temperaturspannung ergibt sich aus  $H_t = \frac{E\alpha t}{\sum w y^2 + \sum \frac{ds}{F}}$  ( $\sum \frac{ds}{F}$  kann im Allgemeinen vernachlässigt werden), ferner ist  $N_x = H_t \cdot \cos \varphi$ ,  $T_x = H_t \cdot \sin \varphi$

und  $M_x$  ist mit dem in der  $x$ -Achse (auch beim Vorhandensein von Gelenken) angenommenen  $H_t$  aus  $M_x = H_t \cdot y$  zu berechnen (welches bei Ausdehnung nach innen gerichtet ist).

Mit den Dimensionierungsformeln für doppelte Eiseneinlagen oder auch einen beliebigen Eisenquerschnitt erhält man die letzteren, und die Kämpferdrücke für rechts- und linksseitige Belastung aus  $H$ ,  $V$ ,  $R = \sqrt{H^2 + V^2}$  und  $c$  (auch aus  $r = \frac{M}{R}$ ,  $x_r = \frac{M}{V}$  und  $y_r = \frac{M}{H}$  in Beziehung auf das Koordinatensystem und seinen Ursprung) oder vermittels der Stützlinien durch die Drittel der Kämpferfugen dienen auch zur Berechnung der Widerlager und Pfeiler.

Dieselben Formeln gelten auch für Rahmenrechnungen mit bogenförmigen oder geraden Stäben, wie dies ihre Übereinstimmung mit den Formeln von Professor Dr. Müller-Breslau für den eingespannten Stabzug mit festen Ecken zeigt, welche (nach den neueren Methoden der Festigkeitslehre 1904, S. 122) lauten:

$$H = X = \frac{\int M_0 y w}{\int y^2 w}, \quad V = Y = \frac{\int M_0 x w}{\int x^2 w}, \quad M = Z = - \frac{\int M_0 w}{\int w},$$

wo  $w = \frac{ds}{J}$  dieselbe Bedeutung für die Lamellenlängen  $ds$  bzw. die Stablängen  $s$  hat.

$$\text{Ferner ist } \int M_0 y \frac{ds}{J} = \sum \frac{F_0 \cdot y_s}{J}, \quad \int M_0 x \frac{ds}{J} = \sum \frac{F_0 \cdot x_s}{J} \quad \text{und} \quad \int M_0 \frac{ds}{J} = \sum \frac{F_0}{J},$$

worin  $F_0$  der Momentenfläche  $\sum M_0 ds$  entspricht und immer senkrecht zur Stabrichtung anzunehmen ist, und  $y_s$  sowie  $x_s$  den Ordinaten und Abszissen für die Schwerpunkte (in ihrer Projektion auf die Stäbe) der Flächen  $F_0$  entsprechen.

Die Momentenflächen werden hierbei für ein links angenommenes bewegliches Auflager (während das Auflager rechts eingespannt ist) bestimmt und sind in jedem Punkt senkrecht zur Stabrichtung aufzutragen oder mit  $\cos \alpha$  und  $\sin \alpha$  ( $\alpha$  Neigung des Stabes) zu dividieren, wenn sie vertikal oder horizontal aufgetragen werden. Bei Annahme eines frei beweglichen Auflagers wird dagegen der Auflagerdruck  $= 0$ , und es gilt für  $M_0$  derselbe Wert wie nach dem Verfahren von Professor Dr. Mörsch, und bei vertikalen Lasten und geraden Stäben ist die erstere Berechnungsweise einfacher und bei horizontalen Kräften die letztere.

Die Trägheitsmomente des Rahmens sind ferner

$$T_x = \int \frac{y^2 ds}{J} = \sum \frac{1}{3} \frac{ds}{J} (y_1^2 + y_1 y_2 + y_2^2) \quad \text{und} \quad T_y = \int \frac{x^2 ds}{J} = \sum \frac{1}{3} \frac{ds}{J} (x_1^2 + x_1 x_2 + x_2^2) \quad \text{und} \quad G = \sum w = \sum \frac{ds}{J}$$

ergibt sich wie oben, und sind hierbei die Vorzeichen für  $y$  und  $x$  einzusetzen.

Bei unsymmetrischen Gewölben oder Rahmenkonstruktionen müssen die Bedingungen  $\int \frac{y ds}{J} = 0$ ,  $\int \frac{x ds}{J} = 0$

und  $\int \frac{xy ds}{J} = 0$  erfüllt werden, und ist hierbei eine vertikale  $y$ -Achse anzunehmen, und zwar im Abstand  $x = \frac{\sum x \cdot w}{\sum w}$

von der Mitte, und eine Drehung der aus  $z = \frac{\sum w y'}{\sum w}$  (wie oben) berechneten  $x$ -Achse um  $\alpha$  aus  $\text{tg } \alpha = \frac{\sum x \cdot w y_1}{\sum w x^2}$

( $y_1$  entspricht hier der vertikalen Ordinate,  $x$  der horizontalen Abszisse und  $y$  der Ordinate senkrecht zu der um  $\alpha$  gedrehten  $x$ -Achse, s. Abb. 85 und 92 in den Veröffentlichungen von 1910 und 1911). Der Ausdruck  $\sum w x y_1$  für

den Stab  $AB$  ergibt sich aus  $\int_b^a x y_1 ds$  mit Einsetzung von  $y_1 = c + m(a-x)$  sowie  $ds = dx \sqrt{1+m^2}$  ( $m = \frac{dy_1}{dx}$ ),

so daß das Integral  $\int_b^a x y_1 ds = \int_b^a x (c + m(a-x)) dx \sqrt{1+m^2} = x^2 \left( \frac{c+ma}{2} - \frac{mx}{3} \right) \sqrt{1+m^2}$  zwischen den

Grenzen ( $x = a$ ) — ( $x = b$ ) erhalten wird, und hieraus die Summe für die einzelnen Stäbe zu rechnen ist (bei Lamellen-

einteilung genügt es für  $\sum w x y_1$  die Summenausdrücke  $\sum x_m \cdot y_m \cdot \frac{ds}{J}$  für deren Mitte auszurechnen). Die Trägheitsmomente und Summenausdrücke für  $H$ ,  $V$  und  $M$  sind hierbei mit  $x$  und  $y = y_1 \cdot \cos \alpha - x \cdot \sin \alpha$  zu berechnen.

Bei Zweigelenrahmen geht die  $x$ -Achse durch die Gelenke, während die Rechnung für  $X$  und  $T_x$  ebenso (nur mit veränderter  $x$ -Achse) ausgeführt wird, und der Horizontalschub sich aus  $H = X = \left\{ V \cdot G \cdot \frac{z_u \cdot l}{2} - P \sum_a^{\frac{1}{2}} (a-x) w y \right\}$ :

$\sum w y^2 \left( + \sum \frac{s}{F} \right)$  ergibt  $\left( + \sum \frac{s}{F} \right)$  kann auch wegfallen), und entspricht der erstere Wert dem Summenausdruck für den Gegendruck  $V$  der Horizontalkräfte, wenn in dem zweiten schon der Auflagerdruck der vertikalen Belastung inbegriffen ist und nur die Horizontalkräfte ohne Gegendruck berechnet worden sind (im anderen Fall bedeutet es den Auflagerdruck der Gesamtbelastung).

Für einen halbkugelförmigen Wasserbehälter, welcher in einzelne Sektoren von der unteren Breite = 1<sup>m</sup> zerlegt wird, lassen sich gleichfalls die Summenausdrücke für  $H$ ,  $V$  und  $M$  ausrechnen, und zwar für die schiefen Kräfte  $P$  mit den Abständen  $p$  von den Lamellenmitten rechts oder auch für ihre Zerlegung in vertikale und horizontale Komponenten (vgl. auch die Tunnelberechnung in meiner Veröffentlichung von 1911), und gelten für letztere die Formeln

$$H = - \frac{1 (\sum w y^2 - b \sum w y)}{\sum w y^2 + \sum \frac{s}{F}}, \quad V = - \frac{1 (\sum w x y - b \sum w x)}{\sum w x^2}, \quad M = + \frac{1 (\sum w y - b \sum w)}{\sum w}$$

(während für die ersteren obige Formeln mit  $M_0 = -1 (a - x)$  anzuwenden sind), und ist  $b$  die mit dem Vorzeichen einzusetzende Ordinate des Angriffspunktes der Kraft 1. Bei Anwendung derselben Werte von  $w$ ,  $x$  und  $y$  für vertikale und horizontale Kräfte und Ausrechnung der Summenausdrücke in Tabellen, welche sich in ihren Resultaten selbst kontrollieren, ist die Berechnung sehr einfach und leicht anzuwenden.

Dies geht insbesondere aus meiner dritten Veröffentlichung: „Gewölbe-, Rahmen- und kontinuierliche Berechnung von Eisenbeton- und Eisenkonstruktionen 1911“ hervor, in welcher die obigen theoretischen Formeln auf praktische Beispiele angewendet worden sind. Hierbei kann auch der Rahmen mit geraden Stäben durch Lamelleneinteilung (wie bei der Gewölbeberechnung) mit frei beweglichem linken Auflager gerechnet werden, oder es können hierfür auch die Momentenflächen  $M_0$  der einzelnen Stäbe bestimmt werden (wie es besonders für die Horizontalkräfte am einfachsten ist), oder es kann ein bewegliches Auflager links angenommen werden, und die Momentenfläche  $M_0$  mit Berücksichtigung des so erhaltenen Auflagerdruckes gerechnet werden (was besonders für die vertikalen Kräfte zu empfehlen ist), und diese drei Berechnungsweisen ergeben dieselben Resultate.

Die vergleichende Berechnung eines Rahmens mit unteren oder oberen Gelenken und mit Eingespanntsein kann für dieselben Momentenflächen durchgeführt werden, und nur die Summenausdrücke und Trägheitsmomente sind für eine veränderte  $x$ -Achse zu bestimmen. Beim Vorhandensein von ein oder zwei Mittelstützen sind auch in beiden Fällen die Momentenflächen der diskontinuierlich berechneten Gegendrücke von den Summenausdrücken für  $X$ ,  $Y$  und  $Z$  abzuziehen, und schiefe Kräfte können hierbei in ihre vertikalen und horizontalen Komponenten zerlegt werden. Bei der Rahmenberechnung mit zwei Stockwerken können oben Gelenke angenommen werden, und aus den hierfür bestimmten Momenten der vertikalen und horizontalen Kräfte erhält man auch die Momente für das untere Stockwerk, und die so erhaltenen Gesamtmomente dienen zur Berechnung von  $X$ ,  $Y$  und  $Z$  für den eingespannten Rahmen mit zwei Mittelstützen, und dasselbe Verfahren kann auch bei mehreren Stockwerken angewendet werden.

Die von mir angewendeten Formeln für die kontinuierliche Berechnung der Einzellasten oder ihrer Belastungsgleichwerte (die negativen Momente können hierbei aus  $p = \frac{8 M_{p \max}}{l^2}$  für die größte Belastung der ersten Oeffnung und für die zugehörige Belastung der zweiten Oeffnung, und für die Querkräfte und Auflagerdrücke aus dem Belastungsgleichwerte von zwei Oeffnungen bestimmt werden) sind durch die Aufzeichnung der berechneten positiven und negativen Momentenlinien und der Verteilungslinien für die Querkräfte einfach anzuwenden, und schließen bei Einhaltung der Vorzeichen jeden Fehler aus, und ist ihre Verwendung zur Bestimmung der Einflußlinien gleichfalls angeben.

Die obigen Grundlagen für die Gewölbe-, Rahmen- und kontinuierliche Berechnung sind daher in den zahlreichen Beispielen meiner bisherigen Veröffentlichungen angewendet worden und kommen auch bei der folgenden Rahmenberechnung mit mehreren Mittelstützen zur praktischen Verwendung.



In dem zweiten Beispiel (s. S. 39) wurde die horizontale Wirkung durch die verschiedene Belastung der Vordächer nicht berücksichtigt, und man erhält für die Auflagerdrücke (s. Abb. 3)

$$A = \frac{5,02 \cdot 22,05 - 7,29 \cdot 2,25}{20,5} = 4,60 \text{ t (statt } 5,02 \text{ t)},$$

$$B = 12,31 - 4,60 = 7,71 \text{ t (statt } 7,29 \text{ t)}.$$

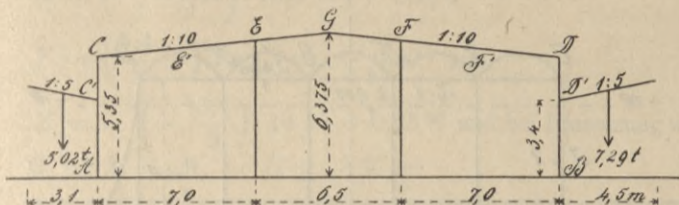


Abb. 3.

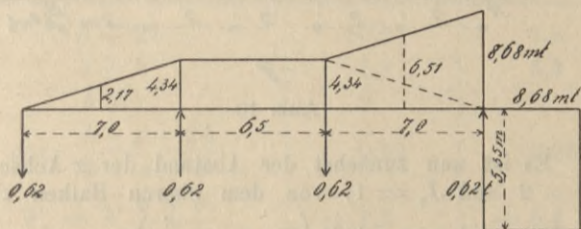


Abb. 4.

Der Einfluß des Unterschieds der beiderseitigen Momente ergibt sich (bei ganzem Winddruck und halber Schneelast) aus:

$$\frac{7,29 \cdot 2,25 - 5,02 \cdot 1,55}{2 \cdot 7} = \frac{16,40 - 7,78}{14} = \frac{8,62}{14} = 0,62 \text{ t}$$

(hierbei tritt 8,62 an die Stelle von 11,47, S. 41), so daß jetzt  $A = 4,60 - 0,62 = 3,98 \text{ t}$  (statt  $5,02 - 0,82 = 4,20 \text{ t}$ ) und  $B = 7,71 + 0,62 = 8,33 \text{ t}$  (statt  $7,29 + 0,82 = 8,11 \text{ t}$ ) in die auf S. 42 berechneten Auflagerdrücke einzusetzen ist.

Die Momentenfläche in Abb. 4 ergibt sich aus  $M_0 = 0,62 \cdot 7 = -4,34 \text{ mt}$  bei E und F sowie  $-8,68 \text{ mt}$  bei B und D, und aus ihrer Vergleichung mit Abb. 68 erhält man:

$$X = 0, Y = \frac{4,34}{16,10} \cdot 1,39 = +0,38 \text{ t}, Z = +4,34 \text{ mt}.$$

Eine angenäherte Berechnung der Momente an den Mittelstützen bei E und F erhält man durch den veränderten Gegenzug bei A und Gegendruck bei B  $= 0,62 \text{ t}$  statt  $\frac{8,62}{20,5} = 0,42 \text{ t}$  aus  $M_e = M_f = (0,62 - 0,42) \cdot 7 = \mp 1,40 \text{ mt}$ , und die genaue Berechnung der Momente des Rahmens durch die horizontale Wirkung der verschieden belasteten Vordächer ergibt sich (analog derjenigen für den horizontalen Winddruck, nur mit entgegengesetztem Vorzeichen S. 47) bei Einsetzung von  $H = X$ ,  $V = Y$  und  $Z = M$  sowie  $M_0$  in die Gleichung  $M_x = M + M_0 - H \cdot y - V \cdot x$  (worin  $H \cdot y$  wegfällt) aus:

$$M_a = +4,34 - 0,38 \cdot 10,25 = +0,45 = M_c = M_e,$$

$$M_{e'} = +4,34 - 0,38 \cdot 6,75 = -2,17 = -0,40,$$

$$M_e = +4,34 - 0,38 \cdot 3,25 = -4,34 = -1,24,$$

$$M_g = +4,34 - 4,34 = 0,$$

$$M_f = +4,34 + 0,38 \cdot 3,25 = +1,24,$$

$$M_{f'} = +4,34 + 0,38 \cdot 6,75 = +1,5 \cdot 4,34 = +0,40,$$

$$M_d = +4,34 + 0,38 \cdot 10,25 - 8,68 = -0,45 = M_b = M_{b'}$$

und diese Momente sind zu den auf S. 48 berechneten Werten zu addieren (dasselbe gilt auch für den Rahmen mit zwei oberen Gelenken, weil die  $y$ -Achse sich hierfür nicht ändert).

In dem dritten Beispiel (s. S. 49) mit zwei Stockwerken sind die Auflagerdrücke bei A und B infolge der

verschiedenen Belastung durch die Vordächer wie oben bestimmt, aber die horizontale Wirkung des Unterschieds ihrer Momente  $2,25 \cdot 3,65 = 8,21$  und  $1,55 \cdot 2,51 = 3,89 \text{ mt}$  ist nicht berücksichtigt, so daß man aus  $8,21 - 3,89 = 4,32 \text{ mt}$

als Druck bei E bzw. Zug bei F:  $\frac{4,32}{2 \cdot 5} = 0,43 \text{ t}$  statt des Zuges bei A bzw. Druckes bei B:  $\frac{4,32}{15} = 0,29 \text{ t}$  erhält

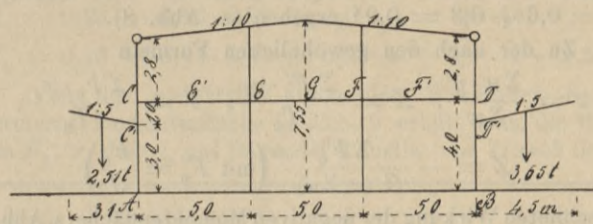


Abb. 5.

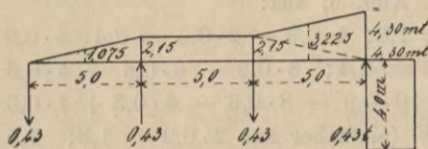


Abb. 6.

und das angenäherte Moment an den Mittelstützen E und F  $= (0,43 - 0,29) \cdot 5 = \mp 0,70 \text{ mt}$  wird.

Aus der in Abb. 6 gezeichneten Momentenfläche mit  $M_0 = 0,43 \cdot 5 = -2,15 \text{ mt}$  bei E und F und  $-4,30 \text{ mt}$  bei B und D können daher (analog derjenigen für den horizontalen Winddruck mit entgegengesetztem Vorzeichen, s. Abb. 84) die Werte von

$$X = 0, Y = \frac{2,15}{7,43} \cdot 0,87 = +0,25 \text{ t}, M = +2,15 \text{ mt}$$

sowie die Momente des Rahmens wie oben (vgl. S. 52) bestimmt werden, und man erhält:

$$M_a = +2,15 - 0,25 \cdot 7,5 = +0,28 = M_c = M_e,$$

$$M_{e'} = +2,15 - 0,25 \cdot 5 = -1,075 = -0,18,$$

$$M_e = +2,15 - 0,25 \cdot 2,5 = -2,15 = -0,63,$$

$$M_g = +2,15 - 2,15 = 0,$$

$$M_f = +2,15 + 0,25 \cdot 2,5 = +0,63,$$

$$M_{f'} = +2,15 + 0,25 \cdot 5 = +2,15 \cdot 1,5 = +0,18,$$

$$M_d = +2,15 + 0,25 \cdot 7,5 - 4,30 = -0,28 = M_b = M_{b'},$$

und kommen diese Momente noch zu den auf S. 53 und 54 berechneten Momenten.

## 2. Anwendung derselben auf die Berechnung für mehrere Mittelstützen.

Der Fall mit 2 Mittelstützen kann nun für beliebig viele Mittelstützen verwendet werden, wenn die im oberen Balken wirkende Horizontalkraft  $H = \frac{M_w}{h}$  auf die einzelnen Teile des Rahmens verteilt wird ( $h = \text{Höhe bis } \frac{H}{2}$ ).

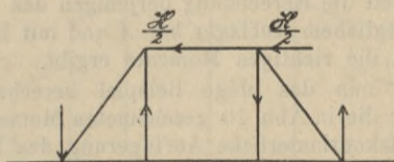


Abb. 7.

Denn im ersten Feld rechts wirkt oben des ganze  $H$ , während es vom zweiten bis vierten Feld gleichmäßig abnimmt und im fünften Feld  $= 0$  wird, so daß an den 4 Mittelstützen  $\frac{H}{4}$  als Differenz übrigbleibt (s. Abb. 8).

Hieraus ergibt sich die Größe der in den Mittelstützen hervorgerufenen Zug- oder Druckkräfte durch die Momente

$$a \cdot V_1 = \frac{M_w}{4}, \quad V_1 = \frac{4,8}{4 \cdot 2} = 0,6 \text{ t und}$$

$$2a \cdot V_2 = \frac{M_w}{4}, \quad V_2 = \frac{4,8}{4 \cdot 4} = 0,3 \text{ t (} a = 2 \text{ m),}$$

und zwar erhält man links Zug- und rechts Druckkräfte, welche zusammen die Gegendrucke an den Auflagern  $V = 0,6 + 0,3 = 0,9 \text{ t}$  ergeben (s. Abb. 8).

Zu der nach den gewöhnlichen Formeln

$$z = \frac{\Sigma w \cdot y'}{\Sigma w}, \quad X = \frac{\Sigma F'_0 \cdot y_s}{T_x}, \quad Y = \frac{\Sigma F'_0 \cdot x_s}{T_y},$$

$$Z = - \frac{\Sigma F'_0}{G (= \Sigma w)} \quad (\text{mit } F'_0 = \frac{F_0}{J})$$

berechneten Wirkung der negativen Momentenfläche (s. Abb. 8) kommt daher noch die Wirkung der positiven Momentenfläche (s. Abb. 9) aus:

$$2 \cdot 0,9 = 1,8; \quad 4 \cdot 0,9 = 3,6; \quad 6 \cdot 0,9 = 5,4; \quad 8 \cdot 0,9 = 7,2; \quad 10 \cdot 0,9 = 9,0; \quad 12 \cdot 0,9 = 10,8; \quad 14 \cdot 0,9 = 12,6; \quad 16 \cdot 0,9 = 14,4; \quad 18 \cdot 0,9 = 16,2; \quad 20 \cdot 0,9 = 18,0; \quad 22 \cdot 0,9 = 19,8; \quad 24 \cdot 0,9 = 21,6; \quad 26 \cdot 0,9 = 23,4; \quad 28 \cdot 0,9 = 25,2; \quad 30 \cdot 0,9 = 27,0; \quad 32 \cdot 0,9 = 28,8; \quad 34 \cdot 0,9 = 30,6; \quad 36 \cdot 0,9 = 32,4; \quad 38 \cdot 0,9 = 34,2; \quad 40 \cdot 0,9 = 36,0; \quad 42 \cdot 0,9 = 37,8; \quad 44 \cdot 0,9 = 39,6; \quad 46 \cdot 0,9 = 41,4; \quad 48 \cdot 0,9 = 43,2; \quad 50 \cdot 0,9 = 45,0; \quad 52 \cdot 0,9 = 46,8; \quad 54 \cdot 0,9 = 48,6; \quad 56 \cdot 0,9 = 50,4; \quad 58 \cdot 0,9 = 52,2; \quad 60 \cdot 0,9 = 54,0; \quad 62 \cdot 0,9 = 55,8; \quad 64 \cdot 0,9 = 57,6; \quad 66 \cdot 0,9 = 59,4; \quad 68 \cdot 0,9 = 61,2; \quad 70 \cdot 0,9 = 63,0; \quad 72 \cdot 0,9 = 64,8; \quad 74 \cdot 0,9 = 66,6; \quad 76 \cdot 0,9 = 68,4; \quad 78 \cdot 0,9 = 70,2; \quad 80 \cdot 0,9 = 72,0; \quad 82 \cdot 0,9 = 73,8; \quad 84 \cdot 0,9 = 75,6; \quad 86 \cdot 0,9 = 77,4; \quad 88 \cdot 0,9 = 79,2; \quad 90 \cdot 0,9 = 81,0; \quad 92 \cdot 0,9 = 82,8; \quad 94 \cdot 0,9 = 84,6; \quad 96 \cdot 0,9 = 86,4; \quad 98 \cdot 0,9 = 88,2; \quad 100 \cdot 0,9 = 90,0; \quad 102 \cdot 0,9 = 91,8; \quad 104 \cdot 0,9 = 93,6; \quad 106 \cdot 0,9 = 95,4; \quad 108 \cdot 0,9 = 97,2; \quad 110 \cdot 0,9 = 99,0; \quad 112 \cdot 0,9 = 100,8; \quad 114 \cdot 0,9 = 102,6; \quad 116 \cdot 0,9 = 104,4; \quad 118 \cdot 0,9 = 106,2; \quad 120 \cdot 0,9 = 108,0; \quad 122 \cdot 0,9 = 109,8; \quad 124 \cdot 0,9 = 111,6; \quad 126 \cdot 0,9 = 113,4; \quad 128 \cdot 0,9 = 115,2; \quad 130 \cdot 0,9 = 117,0; \quad 132 \cdot 0,9 = 118,8; \quad 134 \cdot 0,9 = 120,6; \quad 136 \cdot 0,9 = 122,4; \quad 138 \cdot 0,9 = 124,2; \quad 140 \cdot 0,9 = 126,0; \quad 142 \cdot 0,9 = 127,8; \quad 144 \cdot 0,9 = 129,6; \quad 146 \cdot 0,9 = 131,4; \quad 148 \cdot 0,9 = 133,2; \quad 150 \cdot 0,9 = 135,0; \quad 152 \cdot 0,9 = 136,8; \quad 154 \cdot 0,9 = 138,6; \quad 156 \cdot 0,9 = 140,4; \quad 158 \cdot 0,9 = 142,2; \quad 160 \cdot 0,9 = 144,0; \quad 162 \cdot 0,9 = 145,8; \quad 164 \cdot 0,9 = 147,6; \quad 166 \cdot 0,9 = 149,4; \quad 168 \cdot 0,9 = 151,2; \quad 170 \cdot 0,9 = 153,0; \quad 172 \cdot 0,9 = 154,8; \quad 174 \cdot 0,9 = 156,6; \quad 176 \cdot 0,9 = 158,4; \quad 178 \cdot 0,9 = 160,2; \quad 180 \cdot 0,9 = 162,0; \quad 182 \cdot 0,9 = 163,8; \quad 184 \cdot 0,9 = 165,6; \quad 186 \cdot 0,9 = 167,4; \quad 188 \cdot 0,9 = 169,2; \quad 190 \cdot 0,9 = 171,0; \quad 192 \cdot 0,9 = 172,8; \quad 194 \cdot 0,9 = 174,6; \quad 196 \cdot 0,9 = 176,4; \quad 198 \cdot 0,9 = 178,2; \quad 200 \cdot 0,9 = 180,0; \quad 202 \cdot 0,9 = 181,8; \quad 204 \cdot 0,9 = 183,6; \quad 206 \cdot 0,9 = 185,4; \quad 208 \cdot 0,9 = 187,2; \quad 210 \cdot 0,9 = 189,0; \quad 212 \cdot 0,9 = 190,8; \quad 214 \cdot 0,9 = 192,6; \quad 216 \cdot 0,9 = 194,4; \quad 218 \cdot 0,9 = 196,2; \quad 220 \cdot 0,9 = 198,0; \quad 222 \cdot 0,9 = 199,8; \quad 224 \cdot 0,9 = 201,6; \quad 226 \cdot 0,9 = 203,4; \quad 228 \cdot 0,9 = 205,2; \quad 230 \cdot 0,9 = 207,0; \quad 232 \cdot 0,9 = 208,8; \quad 234 \cdot 0,9 = 210,6; \quad 236 \cdot 0,9 = 212,4; \quad 238 \cdot 0,9 = 214,2; \quad 240 \cdot 0,9 = 216,0; \quad 242 \cdot 0,9 = 217,8; \quad 244 \cdot 0,9 = 219,6; \quad 246 \cdot 0,9 = 221,4; \quad 248 \cdot 0,9 = 223,2; \quad 250 \cdot 0,9 = 225,0; \quad 252 \cdot 0,9 = 226,8; \quad 254 \cdot 0,9 = 228,6; \quad 256 \cdot 0,9 = 230,4; \quad 258 \cdot 0,9 = 232,2; \quad 260 \cdot 0,9 = 234,0; \quad 262 \cdot 0,9 = 235,8; \quad 264 \cdot 0,9 = 237,6; \quad 266 \cdot 0,9 = 239,4; \quad 268 \cdot 0,9 = 241,2; \quad 270 \cdot 0,9 = 243,0; \quad 272 \cdot 0,9 = 244,8; \quad 274 \cdot 0,9 = 246,6; \quad 276 \cdot 0,9 = 248,4; \quad 278 \cdot 0,9 = 250,2; \quad 280 \cdot 0,9 = 252,0; \quad 282 \cdot 0,9 = 253,8; \quad 284 \cdot 0,9 = 255,6; \quad 286 \cdot 0,9 = 257,4; \quad 288 \cdot 0,9 = 259,2; \quad 290 \cdot 0,9 = 261,0; \quad 292 \cdot 0,9 = 262,8; \quad 294 \cdot 0,9 = 264,6; \quad 296 \cdot 0,9 = 266,4; \quad 298 \cdot 0,9 = 268,2; \quad 300 \cdot 0,9 = 270,0; \quad 302 \cdot 0,9 = 271,8; \quad 304 \cdot 0,9 = 273,6; \quad 306 \cdot 0,9 = 275,4; \quad 308 \cdot 0,9 = 277,2; \quad 310 \cdot 0,9 = 279,0; \quad 312 \cdot 0,9 = 280,8; \quad 314 \cdot 0,9 = 282,6; \quad 316 \cdot 0,9 = 284,4; \quad 318 \cdot 0,9 = 286,2; \quad 320 \cdot 0,9 = 288,0; \quad 322 \cdot 0,9 = 289,8; \quad 324 \cdot 0,9 = 291,6; \quad 326 \cdot 0,9 = 293,4; \quad 328 \cdot 0,9 = 295,2; \quad 330 \cdot 0,9 = 297,0; \quad 332 \cdot 0,9 = 298,8; \quad 334 \cdot 0,9 = 300,6; \quad 336 \cdot 0,9 = 302,4; \quad 338 \cdot 0,9 = 304,2; \quad 340 \cdot 0,9 = 306,0; \quad 342 \cdot 0,9 = 307,8; \quad 344 \cdot 0,9 = 309,6; \quad 346 \cdot 0,9 = 311,4; \quad 348 \cdot 0,9 = 313,2; \quad 350 \cdot 0,9 = 315,0; \quad 352 \cdot 0,9 = 316,8; \quad 354 \cdot 0,9 = 318,6; \quad 356 \cdot 0,9 = 320,4; \quad 358 \cdot 0,9 = 322,2; \quad 360 \cdot 0,9 = 324,0; \quad 362 \cdot 0,9 = 325,8; \quad 364 \cdot 0,9 = 327,6; \quad 366 \cdot 0,9 = 329,4; \quad 368 \cdot 0,9 = 331,2; \quad 370 \cdot 0,9 = 333,0; \quad 372 \cdot 0,9 = 334,8; \quad 374 \cdot 0,9 = 336,6; \quad 376 \cdot 0,9 = 338,4; \quad 378 \cdot 0,9 = 340,2; \quad 380 \cdot 0,9 = 342,0; \quad 382 \cdot 0,9 = 343,8; \quad 384 \cdot 0,9 = 345,6; \quad 386 \cdot 0,9 = 347,4; \quad 388 \cdot 0,9 = 349,2; \quad 390 \cdot 0,9 = 351,0; \quad 392 \cdot 0,9 = 352,8; \quad 394 \cdot 0,9 = 354,6; \quad 396 \cdot 0,9 = 356,4; \quad 398 \cdot 0,9 = 358,2; \quad 400 \cdot 0,9 = 360,0; \quad 402 \cdot 0,9 = 361,8; \quad 404 \cdot 0,9 = 363,6; \quad 406 \cdot 0,9 = 365,4; \quad 408 \cdot 0,9 = 367,2; \quad 410 \cdot 0,9 = 369,0; \quad 412 \cdot 0,9 = 370,8; \quad 414 \cdot 0,9 = 372,6; \quad 416 \cdot 0,9 = 374,4; \quad 418 \cdot 0,9 = 376,2; \quad 420 \cdot 0,9 = 378,0; \quad 422 \cdot 0,9 = 379,8; \quad 424 \cdot 0,9 = 381,6; \quad 426 \cdot 0,9 = 383,4; \quad 428 \cdot 0,9 = 385,2; \quad 430 \cdot 0,9 = 387,0; \quad 432 \cdot 0,9 = 388,8; \quad 434 \cdot 0,9 = 390,6; \quad 436 \cdot 0,9 = 392,4; \quad 438 \cdot 0,9 = 394,2; \quad 440 \cdot 0,9 = 396,0; \quad 442 \cdot 0,9 = 397,8; \quad 444 \cdot 0,9 = 399,6; \quad 446 \cdot 0,9 = 401,4; \quad 448 \cdot 0,9 = 403,2; \quad 450 \cdot 0,9 = 405,0; \quad 452 \cdot 0,9 = 406,8; \quad 454 \cdot 0,9 = 408,6; \quad 456 \cdot 0,9 = 410,4; \quad 458 \cdot 0,9 = 412,2; \quad 460 \cdot 0,9 = 414,0; \quad 462 \cdot 0,9 = 415,8; \quad 464 \cdot 0,9 = 417,6; \quad 466 \cdot 0,9 = 419,4; \quad 468 \cdot 0,9 = 421,2; \quad 470 \cdot 0,9 = 423,0; \quad 472 \cdot 0,9 = 424,8; \quad 474 \cdot 0,9 = 426,6; \quad 476 \cdot 0,9 = 428,4; \quad 478 \cdot 0,9 = 430,2; \quad 480 \cdot 0,9 = 432,0; \quad 482 \cdot 0,9 = 433,8; \quad 484 \cdot 0,9 = 435,6; \quad 486 \cdot 0,9 = 437,4; \quad 488 \cdot 0,9 = 439,2; \quad 490 \cdot 0,9 = 441,0; \quad 492 \cdot 0,9 = 442,8; \quad 494 \cdot 0,9 = 444,6; \quad 496 \cdot 0,9 = 446,4; \quad 498 \cdot 0,9 = 448,2; \quad 500 \cdot 0,9 = 450,0; \quad 502 \cdot 0,9 = 451,8; \quad 504 \cdot 0,9 = 453,6; \quad 506 \cdot 0,9 = 455,4; \quad 508 \cdot 0,9 = 457,2; \quad 510 \cdot 0,9 = 459,0; \quad 512 \cdot 0,9 = 460,8; \quad 514 \cdot 0,9 = 462,6; \quad 516 \cdot 0,9 = 464,4; \quad 518 \cdot 0,9 = 466,2; \quad 520 \cdot 0,9 = 468,0; \quad 522 \cdot 0,9 = 469,8; \quad 524 \cdot 0,9 = 471,6; \quad 526 \cdot 0,9 = 473,4; \quad 528 \cdot 0,9 = 475,2; \quad 530 \cdot 0,9 = 477,0; \quad 532 \cdot 0,9 = 478,8; \quad 534 \cdot 0,9 = 480,6; \quad 536 \cdot 0,9 = 482,4; \quad 538 \cdot 0,9 = 484,2; \quad 540 \cdot 0,9 = 486,0; \quad 542 \cdot 0,9 = 487,8; \quad 544 \cdot 0,9 = 489,6; \quad 546 \cdot 0,9 = 491,4; \quad 548 \cdot 0,9 = 493,2; \quad 550 \cdot 0,9 = 495,0; \quad 552 \cdot 0,9 = 496,8; \quad 554 \cdot 0,9 = 498,6; \quad 556 \cdot 0,9 = 500,4; \quad 558 \cdot 0,9 = 502,2; \quad 560 \cdot 0,9 = 504,0; \quad 562 \cdot 0,9 = 505,8; \quad 564 \cdot 0,9 = 507,6; \quad 566 \cdot 0,9 = 509,4; \quad 568 \cdot 0,9 = 511,2; \quad 570 \cdot 0,9 = 513,0; \quad 572 \cdot 0,9 = 514,8; \quad 574 \cdot 0,9 = 516,6; \quad 576 \cdot 0,9 = 518,4; \quad 578 \cdot 0,9 = 520,2; \quad 580 \cdot 0,9 = 522,0; \quad 582 \cdot 0,9 = 523,8; \quad 584 \cdot 0,9 = 525,6; \quad 586 \cdot 0,9 = 527,4; \quad 588 \cdot 0,9 = 529,2; \quad 590 \cdot 0,9 = 531,0; \quad 592 \cdot 0,9 = 532,8; \quad 594 \cdot 0,9 = 534,6; \quad 596 \cdot 0,9 = 536,4; \quad 598 \cdot 0,9 = 538,2; \quad 600 \cdot 0,9 = 540,0; \quad 602 \cdot 0,9 = 541,8; \quad 604 \cdot 0,9 = 543,6; \quad 606 \cdot 0,9 = 545,4; \quad 608 \cdot 0,9 = 547,2; \quad 610 \cdot 0,9 = 549,0; \quad 612 \cdot 0,9 = 550,8; \quad 614 \cdot 0,9 = 552,6; \quad 616 \cdot 0,9 = 554,4; \quad 618 \cdot 0,9 = 556,2; \quad 620 \cdot 0,9 = 558,0; \quad 622 \cdot 0,9 = 559,8; \quad 624 \cdot 0,9 = 561,6; \quad 626 \cdot 0,9 = 563,4; \quad 628 \cdot 0,9 = 565,2; \quad 630 \cdot 0,9 = 567,0; \quad 632 \cdot 0,9 = 568,8; \quad 634 \cdot 0,9 = 570,6; \quad 636 \cdot 0,9 = 572,4; \quad 638 \cdot 0,9 = 574,2; \quad 640 \cdot 0,9 = 576,0; \quad 642 \cdot 0,9 = 577,8; \quad 644 \cdot 0,9 = 579,6; \quad 646 \cdot 0,9 = 581,4; \quad 648 \cdot 0,9 = 583,2; \quad 650 \cdot 0,9 = 585,0; \quad 652 \cdot 0,9 = 586,8; \quad 654 \cdot 0,9 = 588,6; \quad 656 \cdot 0,9 = 590,4; \quad 658 \cdot 0,9 = 592,2; \quad 660 \cdot 0,9 = 594,0; \quad 662 \cdot 0,9 = 595,8; \quad 664 \cdot 0,9 = 597,6; \quad 666 \cdot 0,9 = 599,4; \quad 668 \cdot 0,9 = 601,2; \quad 670 \cdot 0,9 = 603,0; \quad 672 \cdot 0,9 = 604,8; \quad 674 \cdot 0,9 = 606,6; \quad 676 \cdot 0,9 = 608,4; \quad 678 \cdot 0,9 = 610,2; \quad 680 \cdot 0,9 = 612,0; \quad 682 \cdot 0,9 = 613,8; \quad 684 \cdot 0,9 = 615,6; \quad 686 \cdot 0,9 = 617,4; \quad 688 \cdot 0,9 = 619,2; \quad 690 \cdot 0,9 = 621,0; \quad 692 \cdot 0,9 = 622,8; \quad 694 \cdot 0,9 = 624,6; \quad 696 \cdot 0,9 = 626,4; \quad 698 \cdot 0,9 = 628,2; \quad 700 \cdot 0,9 = 630,0; \quad 702 \cdot 0,9 = 631,8; \quad 704 \cdot 0,9 = 633,6; \quad 706 \cdot 0,9 = 635,4; \quad 708 \cdot 0,9 = 637,2; \quad 710 \cdot 0,9 = 639,0; \quad 712 \cdot 0,9 = 640,8; \quad 714 \cdot 0,9 = 642,6; \quad 716 \cdot 0,9 = 644,4; \quad 718 \cdot 0,9 = 646,2; \quad 720 \cdot 0,9 = 648,0; \quad 722 \cdot 0,9 = 649,8; \quad 724 \cdot 0,9 = 651,6; \quad 726 \cdot 0,9 = 653,4; \quad 728 \cdot 0,9 = 655,2; \quad 730 \cdot 0,9 = 657,0; \quad 732 \cdot 0,9 = 658,8; \quad 734 \cdot 0,9 = 660,6; \quad 736 \cdot 0,9 = 662,4; \quad 738 \cdot 0,9 = 664,2; \quad 740 \cdot 0,9 = 666,0; \quad 742 \cdot 0,9 = 667,8; \quad 744 \cdot 0,9 = 669,6; \quad 746 \cdot 0,9 = 671,4; \quad 748 \cdot 0,9 = 673,2; \quad 750 \cdot 0,9 = 675,0; \quad 752 \cdot 0,9 = 676,8; \quad 754 \cdot 0,9 = 678,6; \quad 756 \cdot 0,9 = 680,4; \quad 758 \cdot 0,9 = 682,2; \quad 760 \cdot 0,9 = 684,0; \quad 762 \cdot 0,9 = 685,8; \quad 764 \cdot 0,9 = 687,6; \quad 766 \cdot 0,9 = 689,4; \quad 768 \cdot 0,9 = 691,2; \quad 770 \cdot 0,9 = 693,0; \quad 772 \cdot 0,9 = 694,8; \quad 774 \cdot 0,9 = 696,6; \quad 776 \cdot 0,9 = 698,4; \quad 778 \cdot 0,9 = 700,2; \quad 780 \cdot 0,9 = 702,0; \quad 782 \cdot 0,9 = 703,8; \quad 784 \cdot 0,9 = 705,6; \quad 786 \cdot 0,9 = 707,4; \quad 788 \cdot 0,9 = 709,2; \quad 790 \cdot 0,9 = 711,0; \quad 792 \cdot 0,9 = 712,8; \quad 794 \cdot 0,9 = 714,6; \quad 796 \cdot 0,9 = 716,4; \quad 798 \cdot 0,9 = 718,2; \quad 800 \cdot 0,9 = 720,0; \quad 802 \cdot 0,9 = 721,8; \quad 804 \cdot 0,9 = 723,6; \quad 806 \cdot 0,9 = 725,4; \quad 808 \cdot 0,9 = 727,2; \quad 810 \cdot 0,9 = 729,0; \quad 812 \cdot 0,9 = 730,8; \quad 814 \cdot 0,9 = 732,6; \quad 816 \cdot 0,9 = 734,4; \quad 818 \cdot 0,9 = 736,2; \quad 820 \cdot 0,9 = 738,0; \quad 822 \cdot 0,9 = 739,8; \quad 824 \cdot 0,9 = 741,6; \quad 826 \cdot 0,9 = 743,4; \quad 828 \cdot 0,9 = 745,2; \quad 830 \cdot 0,9 = 747,0; \quad 832 \cdot 0,9 = 748,8; \quad 834 \cdot 0,9 = 750,6; \quad 836 \cdot 0,9 = 752,4; \quad 838 \cdot 0,9 = 754,2; \quad 840 \cdot 0,9 = 756,0; \quad 842 \cdot 0,9 = 757,8; \quad 844 \cdot 0,9 = 759,6; \quad 846 \cdot 0,9 = 761,4; \quad 848 \cdot 0,9 = 763,2; \quad 850 \cdot 0,9 = 765,0; \quad 852 \cdot 0,9 = 766,8; \quad 854 \cdot 0,9 = 768,6; \quad 856 \cdot 0,9 = 770,4; \quad 858 \cdot 0,9 = 772,2; \quad 860 \cdot 0,9 = 774,0; \quad 862 \cdot 0,9 = 775,8; \quad 864 \cdot 0,9 = 777,6; \quad 866 \cdot 0,9 = 779,4; \quad 868 \cdot 0,9 = 781,2; \quad 870 \cdot 0,9 = 783,0; \quad 872 \cdot 0,9 = 784,8; \quad 874 \cdot 0,9 = 786,6; \quad 876 \cdot 0,9 = 788,4; \quad 878 \cdot 0,9 = 790,2; \quad 880 \cdot 0,9 = 792,0; \quad 882 \cdot 0,9 = 793,8; \quad 884 \cdot 0,9 = 795,6; \quad 886 \cdot 0,9 = 797,4; \quad 888 \cdot 0,9 = 799,2; \quad 890 \cdot 0,9 = 801,0; \quad 892 \cdot 0,9 = 802,8; \quad 894 \cdot 0,9 = 804,6; \quad 896 \cdot 0,9 = 806,4; \quad 898 \cdot 0,9 = 808,2; \quad 900 \cdot 0,9 = 810,0; \quad 902 \cdot 0,9 = 811,8; \quad 904 \cdot 0,9 = 813,6; \quad 906 \cdot 0,9 = 815,4; \quad 908 \cdot 0,9 = 817,2; \quad 910 \cdot 0,9 = 819,0; \quad 912 \cdot 0,9 = 820,8; \quad 914 \cdot 0,9 = 822,6; \quad 916 \cdot 0,9 = 824,4; \quad 918 \cdot 0,9 = 826,2; \quad 920 \cdot 0,9 = 828,0; \quad 922 \cdot 0,9 = 829,8; \quad 924 \cdot 0,9 = 831,6; \quad 926 \cdot 0,9 = 833,4; \quad 928 \cdot 0,9 = 835,2; \quad 930 \cdot 0,9 = 837,0; \quad 932 \cdot 0,9 = 838,8; \quad 934 \cdot 0,9 = 840,6; \quad 936 \cdot 0,9 = 842,4; \quad 938 \cdot 0,9 = 844,2; \quad 940 \cdot 0,9 = 846,0; \quad 942 \cdot 0,9 = 847,8; \quad 944 \cdot 0,9 = 849,6; \quad 946 \cdot 0,9 = 851,4; \quad 948 \cdot 0,9 = 853,2; \quad 950 \cdot 0,9 = 855,0; \quad 952 \cdot 0,9 = 856,8; \quad 954 \cdot 0,9 = 858,6; \quad 956 \cdot 0,9 = 860,4; \quad 958 \cdot 0,9 = 862,2; \quad 960 \cdot 0,9 = 864,0; \quad 962 \cdot 0,9 = 865,8; \quad 964 \cdot 0,9 = 867,6; \quad 966 \cdot 0,9 = 869,4; \quad 968 \cdot 0,9 = 871,2; \quad 970 \cdot 0,9 = 873,0; \quad 972 \cdot 0,9 = 874,8; \quad 974 \cdot 0,9 = 876,6; \quad 976 \cdot 0,9 = 878,4; \quad 978 \cdot 0,9 = 880,2; \quad 980 \cdot 0,9 = 882,0; \quad 982 \cdot 0,9 = 883,8; \quad 984 \cdot 0,9 = 885,6; \quad 986 \cdot 0,9 = 887,4; \quad 988 \cdot 0,9 = 889,2; \quad 990 \cdot 0,9 = 891,0; \quad 992 \cdot 0,9 = 892,8; \quad 994 \cdot 0,9 = 894,6; \quad 996 \cdot 0,9 = 896,4; \quad 998 \cdot 0,9 = 898,2; \quad 1000 \cdot 0,9 = 900,0; \quad 1002 \cdot 0,9 = 901,8; \quad 1004 \cdot 0,9 = 903,6; \quad 1006 \cdot 0,9 = 905,4; \quad 1008 \cdot 0,9 = 907,2; \quad 1010 \cdot 0,9 = 909,0; \quad 1012 \cdot 0,9 = 910,8; \quad 1014 \cdot 0,9 = 912,6; \quad 1016 \cdot 0,9 = 914,4; \quad 1018 \cdot 0,9 = 916,2; \quad 1020 \cdot 0,9 = 918,0; \quad 1022 \cdot 0,9 = 919,8; \quad 1024 \cdot 0,9 = 921,6; \quad 1026 \cdot 0,9 = 923,4; \quad 1028 \cdot 0,9 = 925,2; \quad 1030 \cdot 0,9 = 927,0; \quad 1032 \cdot 0,9 = 928,8; \quad 1034 \cdot 0,9 = 930,6; \quad 1036 \cdot 0,9 = 932,4; \quad 1038 \cdot 0,9 = 934,2; \quad 1040 \cdot 0,9 = 936,0; \quad 1042 \cdot 0,9 = 937,8; \quad 1044 \cdot 0,9 = 939,6; \quad 1046 \cdot 0,9 = 941,4; \quad 1048 \cdot 0,9 = 943,2; \quad 1050 \cdot 0,9 = 945,0; \quad 1052 \cdot 0,9 = 946,8; \quad 1054 \cdot 0,9 = 948,6; \quad 1056 \cdot 0,9 = 950,4; \quad 1058 \cdot 0,9 = 952,2; \quad 1060 \cdot 0,9 = 954,0; \quad 1062 \cdot 0,9 = 955,8; \quad 1064 \cdot 0,9 = 957,6; \quad 1066 \cdot 0,9 = 959,4; \quad 1068 \cdot 0,9 = 961,2; \quad 1070 \cdot 0,9 = 963,0; \quad 1072 \cdot 0,9 = 964,8; \quad 1074 \cdot 0,9 = 966,6; \quad 1076 \cdot 0,9 = 968,4; \quad 1078 \cdot 0,9 = 970,2; \quad 1080 \cdot 0,9 = 972,0; \quad 1082 \cdot 0,9 = 973,8; \quad 1084 \cdot 0,9 = 975,6; \quad 1086 \cdot 0,9 = 977,4; \quad 1088 \cdot 0,9 = 979,2; \quad 1090 \cdot 0,9 = 981,0; \quad 1092 \cdot 0,9 = 982,8; \quad 1094 \cdot 0,9 = 984,6; \quad 1096 \cdot 0,9 = 986,4; \quad 1098 \cdot 0,9 = 988,2; \quad 1100 \cdot 0,9 = 990,0; \quad 1102 \cdot 0,9 = 991,8; \quad 1104 \cdot 0,9 = 993,6; \quad 1106 \cdot 0,9 = 995,4; \quad 1108 \cdot 0,9 = 997,2; \quad 1110 \cdot 0,9 = 999,0; \quad 1112 \cdot 0,9 = 1000,8; \quad 1114 \cdot 0,9 = 1002,6; \quad 1116 \cdot 0,9 = 1004,4; \quad 1118 \cdot 0,9 = 1006,2; \quad 1120 \cdot 0,9 = 1008,0; \quad 1122 \cdot 0,9 = 1009,8; \quad 1124 \cdot 0,9 = 1011,6; \quad 1126 \cdot 0,9 = 1013,4; \quad 1128 \cdot 0,9 = 1015,2; \quad 1130 \cdot 0,9 = 1017,0; \quad 1132 \cdot 0,9 = 1018,8; \quad 1134 \cdot 0,9 = 1020,6; \quad 1136 \cdot 0,9 = 1022,4; \quad 1138 \cdot 0,9 = 1024,2; \quad 1140 \cdot 0,9 = 1026,0; \quad 1142 \cdot 0,9 = 1027,8; \quad 1144 \cdot 0,9 = 1029,6; \quad 1146 \cdot 0,9 = 1031,4; \quad 1148 \cdot 0,9 = 1033,2; \quad 1150 \cdot 0,9 = 1035,0; \quad 1152 \cdot 0,9 = 1036,8; \quad 1154 \cdot 0,9 = 1038,6; \quad 1156 \cdot 0,9 = 1040,4; \quad 1158 \cdot 0,9 = 1042,2; \quad 1160 \cdot 0,9 = 1044,0; \quad 1162 \cdot 0,9 = 1045,8; \quad 1164 \cdot 0,9 = 1047,6; \quad 1166 \cdot 0,9 = 1049,4; \quad 1168 \cdot 0,9 = 1051,2; \quad 1170 \cdot 0,9 = 1053,0; \quad 1172 \cdot 0,9 = 1054,8; \quad 1174 \cdot 0,9 = 1056,6; \quad 1176 \cdot 0,9 = 1058,$$

Von dem rechts wirkenden Winddruck erhält man bei Annahme eines frei beweglichen Endes für  $A$  die in Abb. 10 rechts gezeichnete Parabel, und hierfür ist

$$F_0 = -\frac{4,8 \cdot 4}{3} = -6,4, \quad y_s = -\frac{3}{4} \cdot 4 + 0,57 = -2,43, \quad x_s = -5, \text{ somit}$$

$$X = \left(\frac{6,4}{2} \cdot 2,43\right) : 16,8 = +0,46^t,$$

$$Y = \left(\frac{6,4}{2} \cdot 5\right) : 183,3 = +0,09^t \text{ und}$$

$$Z = -\left(-\frac{6,4}{2}\right) : 14 = +0,23 \text{ mt und bei Einsetzung in } M_x = M + M_0 - H \cdot y - V \cdot x:$$

$$M_a = 0,23 + 0,46 \cdot 3,43 - 0,09 \cdot 5 = +1,36 \text{ mt},$$

$$M_c = 0,23 - 0,46 \cdot 0,57 - 0,09 \cdot 5 = -0,48 \text{ mt},$$

$$M_e = 0,23 - 0,46 \cdot 0,57 - 0,09 \cdot 3 = -0,30 \text{ mt},$$

$$M_f = 0,23 - 0,46 \cdot 0,57 - 0,09 \cdot 1 = -0,12 \text{ mt},$$

$$M_g = 0,23 - 0,46 \cdot 0,57 + 0,09 \cdot 1 = +0,06 \text{ mt},$$

$$M_h = 0,23 - 0,46 \cdot 0,57 + 0,09 \cdot 3 = +0,24 \text{ mt},$$

$$M_d = 0,23 - 0,46 \cdot 0,57 + 0,09 \cdot 5 = +0,42 \text{ mt},$$

$$M_b = 0,23 + 0,46 \cdot 3,43 + 0,09 \cdot 5 - 4,8 = -2,54 \text{ mt}.$$

Von der gleichfalls durch den Winddruck hervorgerufenen Momentenfläche in Abb. 9 erhält man die Werte von  $F_0$ ,  $x_s$  und  $y_s$  aus folgender Tabelle (von  $D$  nach links):

Trapez	1	2	3	4	5	1-5
$a + 2b$	10,8	7,8	7,2	6,0	1,8	
$a + b$	7,8	5,4	4,8	4,2	1,8	
$h$ ( $h'$ )	2	2	2	2	2	$h'$ schiefe Länge
$a = \frac{h}{3} \cdot \frac{a + 2b}{a + b}$	0,92	0,96	1	0,95	0,67	mit Rechenstab
$F_0 = h' \frac{a + b}{2}$	+7,8	+5,4	+4,8	+4,2	+1,8	( $J = 1$ )
$x_s = \text{Abstand } \mp \frac{e}{h} \cdot \text{Breite}$	$5 - \frac{0,92}{2} \cdot 2$ =-4,08	$3 - \frac{0,96}{2} \cdot 2$ =-2,04	$1 - \frac{1}{2} \cdot 2 = 0$	$1 + \frac{0,95}{2} \cdot 2$ =+1,95	$3 + \frac{0,67}{2} \cdot 2$ =+3,67	$y_s$ konstant =+0,57

Das Rechteck rechts ergibt  $F_0 = 4,8 \cdot 4 = +19,2$  (mit  $J = 2$ ),  $x_s = -5$ ,  $y_s = -2 + 0,57 = -1,43$ . Man erhält daher

$$X = \frac{\sum F_0' \cdot y_s}{T_x} = \left((7,8 + 5,4 + 4,8 + 4,2 + 1,8) \cdot 0,57 - \frac{19,2}{2} \cdot 1,43\right) : 16,8 = 0,$$

$$Y = \frac{\sum F_0' \cdot x_s}{T_y} = \left(-7,8 \cdot 4,08 - 5,4 \cdot 2,04 + 4,8 \cdot 0 + 4,2 \cdot 1,95 + 1,8 \cdot 3,67 - \frac{19,2}{2} \cdot 5\right) : 183,3 = -0,42^t,$$

$$Z = -\frac{\sum F_0'}{G} = -\left(7,8 + 5,4 + 4,8 + 4,2 + 1,8 + \frac{19,2}{2}\right) : 14 = -2,40 \text{ mt}.$$

Hieraus ergibt sich für  $H = X$ ,  $V = Y$  und  $M = Z$  das Moment  $M_x = M + M_0 - H \cdot y - V \cdot x$  oder

$$M_a = -2,40 + 0,42 \cdot 5 = -0,30 = M_c, \quad M_e = -2,40 + 0,42 \cdot 3 + 1,8 = +0,66,$$

$$M_f = -2,40 + 0,42 \cdot 1 + 2,4 = +0,42, \quad M_g = -2,40 - 0,42 \cdot 1 + 2,4 = -0,42,$$

$$M_h = -2,40 - 0,42 \cdot 3 + 3,0 = -0,66, \quad M_d = -2,40 - 0,42 \cdot 5 + 4,8 = +0,30 = M_b.$$

Durch Summierung der Momente für vertikale und horizontale Belastung erhält man:

$$M_a = +0,71 + 1,36 - 0,30 = +1,77, \quad M_e = -1,54 - 0,48 - 0,30 = -2,32,$$

$$M_c = -1,54 - 0,30 + 0,66 = -1,18, \quad M_f = -1,54 - 0,12 + 0,42 = -1,24,$$

$$M_g = -1,54 + 0,06 - 0,42 = -1,90, \quad M_h = -1,54 + 0,24 - 0,66 = -1,96,$$

$$M_d = -1,54 + 0,42 + 0,30 = -0,82, \quad M_b = +0,71 - 2,54 + 0,30 = -1,53 \text{ mt}$$

(die Zwischenpunkte werden in derselben Weise wie oben berechnet).

Mit dieser einfachen Berechnung sind daher sämtliche Momente und Spannungen (bei positivem  $M_x$  außen Druck und innen Zug und bei negativem  $M_x$  umgekehrt) aus  $N_x = V_x \cdot \sin \varphi + H_x \cdot \cos \varphi$ ,  $T_x = V_x \cdot \cos \varphi - H_x \cdot \sin \varphi$  mit  $V_x = V - \sum P$  und  $H_x = H - \sum H$  sowie  $c = \frac{M_x}{N_x}$  und  $\sigma_i = \frac{1}{b \cdot h} \left(N_x \pm \frac{6 M_x}{h}\right)$  bestimmt (der Abstand  $c$  der Normalkraft  $N_x$  von der Fugenmitte ist nach außen oder innen aufzutragen, je nachdem er positiv oder negativ ist, und ergibt hierdurch auch den Schnitt der Stützlinie mit der Fugenrichtung).

Die obige angenäherte Berechnung des Einflusses der Mittelstützen auf die Berechnung des eingespannten Rahmens  $ABCD$  (für welchen ja auch der diskontinuierliche Auflagerdruck der Gesamtbelastung des oberen Balkens bei Annahme eines beweglichen Auflagers in  $A$  anzunehmen ist, so daß bei Abzug der durch die teilweise eingespannten Mittelstützen hervorgerufenen Gegendrucke der Auflagerdruck des ersten Feldes übrigbleibt und damit auch die Parabeln in den einzelnen Feldern erhalten

werden) ergibt daher auch nach dem obigen Beispiel eines Güterschuppens (s. Abb. 9 und 15 meiner Veröffentlichung von 1911 sowie Abb. 1 oben) angenähert richtige Werte, und es wird dadurch die umständliche Rechnung eines

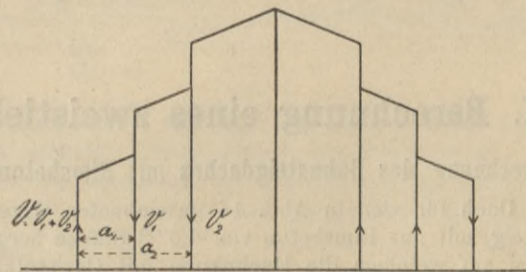


Abb. 11.

siebenfach statisch unbestimmten Systems vermieden, für welches aus den Elastizitätsgleichungen sieben unbekannte Größen zu berechnen sind.

Bei verschiedenen hohen Mittelstützen (s. Abb. 11) kann das Moment der horizontalen Kräfte bzw. des Winddrucks

gleichfalls bei fünf Mittelstützen mit  $\frac{M_w}{5}$  auf die einzelnen Teile verteilt werden, indem die Gegendrücke in dem äußeren Rahmen ähnlich wie beim geraden Balken wirken, und aus  $V_1 = \frac{M_w}{5a_1}$ ,  $V_2 = \frac{M_w}{5 \cdot a_2}$  ergibt sich die durch das Moment der Horizontalkräfte bewirkte Verminderung bzw. Vermehrung des vertikalen Druckes in den Mittelstützen, wie ja auch die äußeren Ständer des Rahmens dadurch einen Zug bzw. Druck erhalten, welcher sich in den benachbarten Mittelstützen als Druck bzw. Zug geltend macht (in der Mittelsäule hebt sich die Druck- und Zugwirkung auf, und sie hat keinen wesentlichen Einfluß auf den horizontalen Winddruck, während dessen vertikale Komponente auch diskontinuierlich berechnet wird).

Auch der in Abb. 12 gezeichnete Fall eines Rahmens mit bogenförmigem statt geradem Balken und teilweise eingespannten Mittelstützen kann in ähnlicher Weise be-

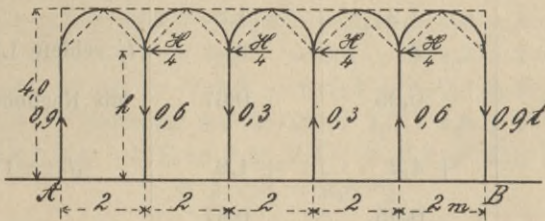


Abb. 12.

rechnet werden, wenn der Widerstand gegen die Verschiebung in den einzelnen Bögen gleich groß angenommen wird und der durch die gestrichelten Linien angedeutete und bei A und B eingespannte Rahmen zu berechnen ist.

Bei sehr steifen Mittelstützen sind die einzelnen Bögen als eingespannte Gewölbe zu berechnen (auch bei nachgiebigen Stützen wird zunächst dieselbe Berechnung mit Stützlinien bzw. nach der Elastizitätslehre ausgeführt), und wenn ein Nachgeben der Mittelstützen angenommen wird, so ist ein Bogen vollbelastet und alle anderen sind unbelastet anzunehmen (bei Vollbelastung aller Bögen heben sich die Horizontalschübe gegenseitig auf, und es kommt dies für die Berechnung des äußeren Rahmens in Betracht).

Die Differenz des Horizontalschubs in beiden Fällen (welche ja auch bei Berechnung der Mittelstützen verwendet wird) kann nach Abb. 12 als Horizontalkraft  $H$  eingeführt werden, welche bei Belastung des ersten Feldes rechts nach links wirkt und sich auf die vier Mittelstützen verteilt (bei Belastung eines mittleren Feldes würde die Wirkung nach rechts und nach links eine analoge sein, indem sich dieselbe auf die Stützen rechts und links gleichmäßig verteilt).

Die Wirkung dieses Horizontalschubes ist nun für dieselbe Steifigkeit der Bögen in dem Moment  $M = \frac{H}{4} \cdot h$  ausgedrückt, und dieses ist wieder  $= a_x \cdot V_x$  zu setzen,

um die Zug- oder Druckkräfte  $V_x$  in den einzelnen Stützen zu erhalten (bei Annahme von  $H = 1,6^t$  und den eingeschriebenen Maßen erhält man dieselben Werte wie in Abb. 8). Wird bei einer Bogenstellung mit Endwiderlagern (als den Endständern des Rahmens) noch der Winddruck  $M_w$  oder die Bremskraft  $B$  in der Höhe  $h'$  mit  $M_b = B \cdot h'$  oder die Temperaturspannung in der Höhe der  $x$ -Achse berücksichtigt, so kann für deren Momente gleichfalls eine Verteilung auf die Mittelstützen erfolgen, während sie auf die Endwiderlager keinen wesentlichen Einfluß ausüben, außer wenn dieselben vollständig frei liegen oder die Bremskraft auf das feste Auflager wirkt.

Nachdem nun der Wert der Gegendrücke bzw. züge  $V_x$  bestimmt ist, so ergibt sich hieraus (in derselben Weise wie beim Zweigelenkbogen)

$$H_x = \frac{V_x \cdot G \cdot z_u \cdot \frac{l}{2}}{T_x},$$

und es ist dieses  $H_x$  von dem berechneten  $H$  abzuziehen oder (für die Zugkraft) zu addieren, wie auch  $V_x$  zu dem  $V$  des berechneten Gewölbes hinzukommt oder von ihm abzuziehen ist. Die Zusammensetzung von  $V_x$  und  $H_x$  ergibt eine Resultante  $R_x$ , welche mit dem Kämpferdruck  $R$  zusammensetzen ist, um hieraus die Abweichung der Stützlinie des eingespannten Gewölbes zu erhalten\*).

Diese Berechnungsweise gilt jedoch nur für solche Rahmenkonstruktionen mit eingespannten (oder mit Gelenken versehenen) Endständern, deren Mittelstützen nicht oder nur teilweise eingespannt sind und daher nur zur Aufnahme der Gegendrücke des oberen (geraden oder bogenförmigen) Balkens dienen. Werden die Mittelstützen ebenso ausgebildet wie die Endstützen, so kann mit der Kontinuität des oberen Balkens gerechnet werden (auch wenn derselbe an den Endstützen frei aufliegt), und es kann hierbei auch die elastische Durchbiegung der eingespannten Mittelstützen berücksichtigt werden (vgl. das Beispiel einer kontinuierlichen Brücke in meiner letzten Veröffentlichung von 1911).

Die Berechnung des Tunnelprofils (in derselben) als ringförmiger Rahmen zeigt endlich, wie dasselbe Verfahren auch bei jedem geschlossenen Querschnitt mit inneren oder äußeren Kräften angewendet werden kann, wenn die  $x$ -Achse (auch bei unsymmetrischem Querschnitt) bestimmt wird und die Summenausdrücke bzw. die Momentenflächen bei geraden Stäben hierfür gerechnet werden.

\*) Auch für Scheddächer mit Dreiecken statt der Bögen ergibt sich eine ähnliche Berechnung des Einflusses der Horizontalschübe, und bei unsymmetrischer Anordnung der Dreiecke gegenüber der  $y$ -Achse ist die Verschiebung der vertikalen  $y$ -Achse (aus  $\frac{\sum x \cdot w}{\sum w}$ ) und die Drehung der  $x$ -Achse aus den Formeln in meinen letzten Veröffentlichungen von 1910 und 1911 zu bestimmen und die Momentenfläche der Zug- und Druckkräfte in den Mittelstützen wie in Abb. 9 zu berücksichtigen (s. auch S. 2).

## II. Berechnung eines zweistieligen Bahnsteigdaches mit zwei Gelenken.

### 1. Berechnung des Bahnsteigdaches mit Bimsbetondecke.

Das Dach für den in Abb. 16 gezeichneten Güterbahnsteig soll aus Bimsbeton von 6,5 cm Stärke hergestellt werden, auf welchem die Dachpappe mit Christolanstrich befestigt wird. Als Eigengewicht erhält man vom Bimsbeton  $0,065 \cdot 1700 = 110 \text{ kg/qm}$  (sein spezifisches Gewicht ist mit Eiseneinlagen  $= 1,7$ ) und für die Dachpappe  $10 \text{ kg}$  sowie Christol  $5 \text{ kg}$  oder zusammen  $125 \text{ kg/qm}$ . Der Winddruck kann bei der Form des Daches vernachlässigt werden, und für ganze Schneebelastung sind  $75 \text{ kg/qm}$  zu rechnen, so

daß man bei einer Belastungsbreite von  $0,9 + 0,7 = 1,6^m$  erhält:  $(125 + 75) \cdot 1,6 = 320 \text{ kg}$  und vom Eigengewicht des Balkens (bei Abzug der Decke)  $0,43 \cdot 0,2 \cdot 2400 + (0,035 - 0,065) \cdot 0,2 \cdot 1700 = 196 \text{ kg}$ , somit zusammen  $320 + 196 = \text{rd. } 520 \text{ kg/m}$ .

Die Berechnung der durch die Balken von  $9^m$  Länge getragenen Bimsbetondecke ergibt sich für Bimsbeton 1:2:4 (1 Teil Zement, 2 Teile scharfen Sand und 4 Teile Bims Kies) aus den zulässigen Spannungen des Bimsbetons



$\sigma_b = 25 \text{ kg}$ , des Eisens  $\sigma_e = 1000 \text{ kg}$  und dem Verhältnis  $n = \frac{E_e}{E_b} = 30$  (statt 15). Nach A 1 b (s. Ber. der Eisenbetonkonstr. 1906) ist alsdann:

$$h = x \left( \frac{\sigma_e}{n \sigma_b} + 1 \right) = m \cdot x \text{ oder } m = \frac{1000}{30 \cdot 25} + 1 = \frac{7}{3},$$

ferner  $x = \sqrt{\frac{6 M}{b \cdot \sigma_b (3 m - 1)}} = \sqrt{\frac{M}{b \cdot \sigma_b}}$  und für  $b = 100 \text{ cm}$  und  $\sigma_b = 25 \text{ kg}$  wird  $x^{\text{cm}} = 0,02 \sqrt{M^{\text{cm/kg}}}$  sowie  $h^{\text{cm}} = 0,0467 \sqrt{M^{\text{cm/kg}}}$ , endlich ist  $f_e = \frac{b \cdot \sigma_b \cdot x}{2 \sigma_e} = \frac{100 \cdot 25 \cdot x}{2 \cdot 1000} = 0,025 \sqrt{M^{\text{cm/kg}}}$ .

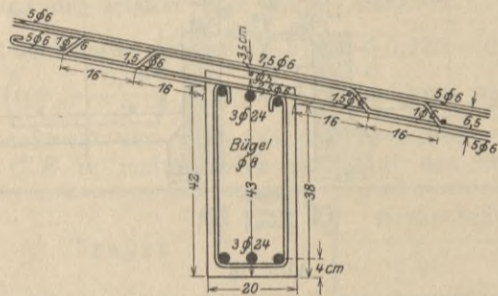


Abb. 13.

Das Moment des vorstehenden Daches ist bei  $0,9 \text{ m}$  Länge:  $M = \frac{0,200 \cdot 0,9^2}{2} = 0,081 \text{ m/t}$ , somit  $x = 0,02 \sqrt{8100} = 1,8 \text{ cm}$ ,  $h = \frac{7}{3} x = 4,2 \text{ cm}$ ,  $f_e = 0,025 \sqrt{8100} = 2,25 \text{ qcm}$ , so daß bei  $1 \text{ cm}$  Abstand der Eisen vom Rand und  $6 \text{ mm}$  Durchmesser derselben für  $h_1 = 5,2$  erhalten wird:  $f_e = \frac{4,2}{5,2} \cdot 2,25 = 1,82 \text{ qcm}$  und hierfür  $7,5 \text{ } \phi 6 = 7,5 \cdot 0,283 = 2,12 \text{ qcm}$  genügen, während die Verteilungseisen mit ca.  $30 \text{ cm}$  Abstand  $5 \text{ mm}$  stark sein können (derselbe Wert für  $f_e$  ergibt sich auch aus  $\frac{h}{h_1} \cdot f_e = \frac{0,0467}{40} \cdot \frac{M}{h_1} = 0,00117 \frac{M^{\text{cm/kg}}}{h_1}$ ).

Für die Stützweite von  $1,4 \text{ m}$  zwischen den Balken erhält man  $M = \frac{0,2 \cdot 1,4^2}{8} = 0,049 \text{ m/t}$ , wenn der Abzug durch das negative Moment des äußeren Daches nicht berücksichtigt wird. Hierfür ist  $f_e = \frac{0,0117 \cdot 4900}{5,2} = 1,10 \text{ qcm}$ ,

so daß schon  $5 \text{ } \phi 6 = 5 \cdot 0,283 = 1,42 \text{ qcm}$  genügen, und mit Rücksicht auf das negative Moment können von den  $7,5$  oberen Eisen  $5$  ganz durchgehen und  $2,5$  nach unten abgebogen werden sowie  $2,5$  unten durchgehen, und die Stelle der Abbiegungen ergibt sich aus  $\frac{l}{10} = \text{rd. } 16 \text{ cm}$  und  $\frac{l}{5} = \text{rd. } 32 \text{ cm}$  ( $5$  Eisen pro Meter Breite ergibt  $20 \text{ cm}$ ,  $1,5$  und  $1$  ergibt  $60$  und  $100 \text{ cm}$  Abstand derselben).

Die Abstände der Konsolen, welche die Balken tragen, sind  $= 9 \text{ m}$ , und es kann wegen der gleichmäßigen Belastung des ganzen Daches mit  $M_m = \frac{q l^2}{12}$  in der Mitte der Oeffnungen und mit  $M_a = \frac{q l^2}{10}$  am Auflager gerechnet werden (vgl. Hütte: Die Koeffizienten für gleichförmige

Belastung von mehreren Oeffnungen), so daß man erhält  $M_{qm} = \frac{0,52 \cdot 9^2}{12} = 3,51 \text{ m/t}$  und  $M_{qa} = \frac{0,52 \cdot 9^2}{10} = 4,21 \text{ m/t}$ .

Für das letztere ergibt sich (beim Eingreifen des Balkens um  $3 \text{ cm}$  in die Bimsbetondecke) bei doppelter Armierung mit  $b = 20 \text{ cm}$ ,  $h = 40 \text{ cm}$ ,  $h' = 4 \text{ cm}$ ,  $\sigma_b = 40 \text{ kg}$  nach A 2 d (s. Ber. der Eisenbetonkonstr. 1906 und 1910):  $x = \frac{3}{8} h = \frac{3 \cdot 40}{8} = 15 \text{ cm}$ ,  $\sigma'_e = n \cdot \sigma_b \left( 1 - \frac{h'}{x} \right) = 15 \cdot 40 \left( 1 - \frac{4}{15} \right) = 440 \text{ kg}$ ,  $\frac{\sigma'_e}{\sigma_b} f'_e (h - h') = \frac{M}{\sigma_b} - \frac{b \cdot x}{2} \left( h - \frac{x}{3} \right)$  oder  $\frac{440}{40} f'_e (40 - 4) = \frac{421000}{40} - \frac{20 \cdot 15}{2} \left( 40 - \frac{15}{3} \right)$  und hieraus (mit Rechenstab)  $f'_e = 26,5 - 13,3 = 13,2 \text{ qcm}$ ,  $25 f_e = \frac{\sigma'_e f'_e}{\sigma_b} + \frac{b \cdot x}{2} = \frac{440 \cdot 13,2}{40} + \frac{20 \cdot 15}{2}$  und  $f_e = 5,8 + 6,0 = 11,8 \text{ qcm}$ , so daß unten und oben  $3 \text{ } \phi 24 = 13,6 \text{ qcm}$  genügen.

Für das erstere ist mit  $h = 39$ ,  $h' = 3$ ,  $\sigma_b = 40 \text{ kg}$ :  $x = \frac{3 \cdot 39}{8} = 14,6 \text{ cm}$ ,  $\sigma'_e = 15 \cdot 40 \left( 1 - \frac{3}{14,6} \right) = 476 \text{ kg}$ ,  $\frac{476}{40} f'_e (39 - 3) = \frac{351000}{40} - \frac{20 \cdot 14,6}{2} \left( 39 - \frac{14,6}{3} \right)$  oder  $f'_e = 20,5 - 11,6 = 8,9 \text{ qcm}$ ,  $25 f_e = \frac{476}{40} \cdot 8,9 + \frac{20 \cdot 14,6}{2}$  oder  $f_e = 4,24 + 5,84 = 10,1 \text{ qcm}$ , somit genügen unten  $3 \text{ } \phi 24$  und oben  $2 \text{ } \phi 24 = 9 \text{ qcm}$ .

Die inneren Balken haben (mit Einrechnung der Dachrinne) nur  $0,7 + 0,275 = 0,975 \text{ m}$  Belastungsbreite somit  $0,975 \cdot 200 = 195 \text{ kg/qm}$  zu tragen, und mit dem Eigengewicht  $195 + 196 = \text{rd. } 400 \text{ kg}$ , so daß  $M_m = \frac{0,4 \cdot 9^2}{12} = 2,70 \text{ m/t}$  und  $M_a = \frac{0,4 \cdot 9^2}{10} = 3,24 \text{ m/t}$  wird, und die Armierung wie für die äußeren Balken reichlich stark ist.

Für beide ergibt sich die in Abb. 14 gezeichnete Anordnung der Eiseneinlagen, wenn die Abbiegungen bei  $\frac{l}{10} = \text{rd. } 90 \text{ cm}$  und bei  $\frac{l}{5} = \text{rd. } 180 \text{ cm}$  angenommen werden. Die Stöße der Eisen sind an die Stelle zu legen, wo die Momente am kleinsten sind, und ist dies bei dem Abstand  $\frac{l}{6}$  der Fall (wobei oben die Lichtweite und unten die Stützweite gilt), so daß unten bei  $1,5 \text{ m}$  Abstand  $M = 0$  wird, und bei  $\sqrt{\frac{1}{3}} \cdot (4,5 - 1,5) = 1,74 \text{ m}$  Abstand von der Mitte  $2 \text{ } \phi 24$  genügen, während der Stoß bei  $2,05 \text{ m}$

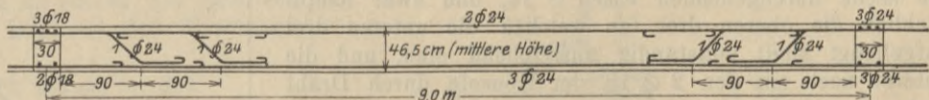


Abb. 14.

Abstand liegt (oben hört hier das mittlere Eisen auf, und die zwei äußeren reichen bis zu den Abbiegungen).

Der Auflagerdruck ist bei Kontinuität der Balken  $= 1,1 \cdot 0,52 \cdot 9,0 = 5,15 \text{ t}$ , und als Querkraft ist die Hälfte zu nehmen, somit wird  $\tau_0 = \frac{Q}{b \left( h - \frac{x}{3} \right)} = \frac{5150}{2 \cdot 20 \left( \frac{7}{8} \cdot 39 \right)} = 3,8 \text{ kg}$  (da für  $x = \frac{3}{8} h$ ,  $\frac{x}{3} = \frac{h}{8}$  wird), und es genügen jedenfalls zwei Abbiegungen. Die Adhäsionsspannung ist  $\tau_1 = \frac{b \cdot \tau_0}{n \pi d} = \frac{20 \cdot 3,8}{3 \cdot \pi \cdot 2,4} = 3,4 \text{ kg}$  und gilt am

Auflager oben. Der Bügelabstand ist  $e = \frac{\sigma_e f_e}{b \cdot \tau_0} = \frac{1000 \cdot 2 \cdot 0,5}{20 \cdot 3} = 16,6 \text{ cm}$  außen.

Zur Berechnung der Konsolen erhält man eine Einzelast  $0,52 \cdot 9 = 4,68 \text{ t}$ , und das Gewicht derselben ergibt sich bei Verwandlung der Fläche in ein Trapez aus  $\frac{0,6 + 0,1}{2} \cdot 1,575 \cdot 0,3 \cdot 2,4 = 0,40 \text{ t}$  und ihr Schwerpunkt aus  $\frac{1,575}{3} \cdot \frac{0,6 + 2 \cdot 0,1}{0,6 + 0,1} = 0,60 \text{ m}$ , somit wird das Moment  $= 4,68 \cdot 0,675 + 0,4 \cdot 0,6 = 3,40 \text{ m/t}$ .

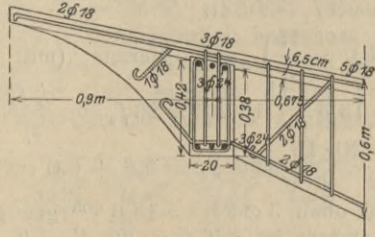


Abb. 15.

Hierfür ergibt sich nach  $A \ 1 \ b : x = \sqrt{\frac{6 \cdot M}{7 \cdot b \cdot \sigma_b}} = \sqrt{\frac{6 \cdot 340000}{7 \cdot 30 \cdot 40}} = 15,6 \text{ cm}$ ,  $h = \frac{8}{3} x = 41,6 \text{ cm}$ ,  $f_e = \frac{b \cdot x}{50} = \frac{30 \cdot 15,6}{50} = 9,36 \text{ qcm}$ , und für  $h_1 = 56 \text{ cm}$  wird  $f_e = \frac{41,6}{56} \cdot 9,36 = 7 \text{ qcm}$ , so daß schon  $3 \ \varnothing 18$  genügen und wegen der Abbiegungen  $5 \ \varnothing 18$  angenommen werden sollen.

Die Querkraft ist  $Q = 4,68 + 0,4 = 5,08 \text{ t}$  mit  $\tau_0 = \frac{5080}{30 \left(\frac{7}{8} \cdot 56\right)} = 3,5 \text{ kg}$ , und beim Balken ist  $Q = 5,08 - \left(\frac{0,6 + 0,445}{2}\right) \cdot 0,575 \cdot 0,3 \cdot 2,4 = 4,86 \text{ t}$  mit  $\tau_0 = \frac{4860}{30 \left(\frac{7}{8} \cdot 40\right)} = 4,6 \text{ kg}$ ,

so daß bei Annahme von  $3 \text{ kg}$  zulässiger Schubspannung des Betons  $\frac{1,6 + 0,5}{2 \cdot \sqrt{2}} \cdot 57,5 \cdot 30 = 1280 \text{ kg}$  durch  $2 \ \varnothing 18$  aufzunehmen sind und hierfür  $\sigma_c = \frac{1280}{2,55 \cdot 2} = 250 \text{ kg}$  wird.

Die Abscherungsfläche des in der Konsole hängenden Balkens ist  $43 \text{ cm}$  hoch und  $20 \text{ cm}$  breit, so daß man als Scherspannung erhält:  $\tau = \frac{5150}{2 \cdot 20 \cdot 43} = 3 \text{ kg}$  und daher die sechs durchgehenden Eisen  $\varnothing 24$ , und zwar hauptsächlich die oberen drei (an welchen die unteren drei aufgehängt sind) vollständig ausreichend sind, und die unteren noch mit den  $2 \ \varnothing 18$  der Konsole durch Draht verbunden werden.

## 2. Berechnung des Zweigelenrahmens mit Eiseneinlagen.

Zur Berechnung des Rahmens in Abb. 16 und 17 sind die Trägheitsmomente der in der Mittellinie enthaltenen Stäbe zu bestimmen, und kann oben eine Gerade  $EF$  angenommen werden, während auf der Seite die Geraden  $AC$  und  $CE$  beizubehalten sind, wenn auch nachher das Eck derselben abgerundet wird (wie dies gewöhnlich bei Rahmenkonstruktionen geschieht). Das mittlere Trägheitsmoment von  $AC$  ergibt sich aus  $J_1 = \left(\frac{23^4}{12} + \frac{29^4}{12}\right) : 2 = 41130$  (für den mittleren Querschnitt erhielt man

$\frac{26^4}{12} = 38081$ ), und bei den zwei anderen Stäben kann die Mittellinie über den Stäben als Höhe angenommen werden (weil das angenäherte Verhältnis der Trägheitsmomente für die Rahmenberechnung genügt), so daß man für  $CE$  und  $DE$ :  $\frac{55^3}{12} \cdot 30 = 415938$  erhält (bei letzterem wird der

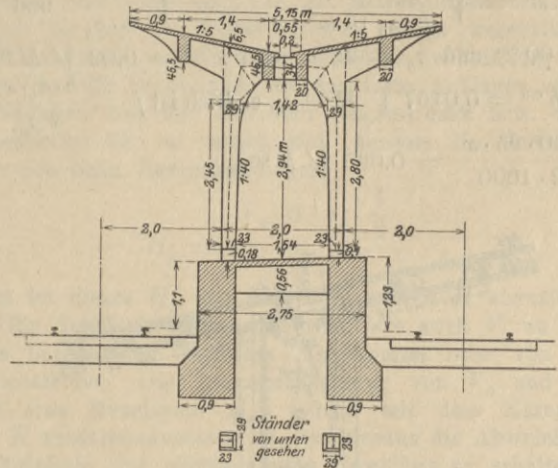


Abb. 16.

obere Einschnitt durch das untere Eck des Vierecks ausgeglichen) und das Verhältnis der Trägheitsmomente  $J_1 : J_2 : J_3 = 1 : 10 : 10$  wird.

Für den bei  $A$  und  $B$  eingespannten Rahmen erhält man den Abstand der  $x$ -Achse aus (s. Abb. 17):

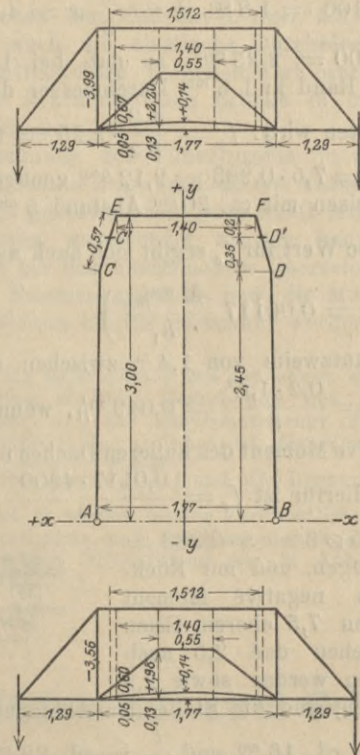


Abb. 17.

$$z_0 = \frac{\sum w \cdot y'}{\sum w (= G)} = \left(\frac{0,57 \cdot 0,55}{10} + \frac{2,45}{1} \cdot 1,775\right) : \left(\frac{0,7}{10} + \frac{0,57}{10} + \frac{2,45}{1}\right) = \frac{4,365}{2,577} = 1,70 \text{ m}$$
 (für den halben Rahmen), und  $z_u = 3,0 - 1,70 = 1,30 \text{ m}$  sowie  $G = 2 \cdot 2,577 = 5,15$  sind auch zur Berechnung des Winddrucks beim Zweigelenrahmen erforderlich (vgl. meine Veröffentlichungen von 1910 und 1911).

Bei letzterem ist die  $x$ -Achse durch die zwei Gelenke bei  $A$  und  $B$  zu legen, und hierfür erhält man das Trägheitsmoment  $T_x = \int y^2 \cdot \frac{ds}{J} = \Sigma \frac{1}{3} w (y_1^2 + y_1 \cdot y_2 + y_2^2) = \left\{ \frac{0,7}{10} \cdot 3^2 + \frac{0,57}{10 \cdot 3} (3^2 + 3 \cdot 2,45 + 2,45^2) + \frac{2,45}{1} \cdot \frac{2,45^2}{3} \right\} \cdot 2 = 11,92$ .

Die Momentenflächen für die Summenausdrücke  $X = \frac{\Sigma F'_0 \cdot y_s}{T_x}$  sind nun so zu bestimmen, daß der gesuchte Horizontalschub bei  $A = 0$  gesetzt wird, während die vertikalen Auflagerdrücke durch die Gelenke bei  $A$  und  $B$  gehen und daher für die vertikale und horizontale Belastung mit der Stützweite 1,77 zu rechnen ist.

Die Momente für die Stäbe  $AC$  und  $CE$  sind daher  $= 0$ , und der letztere Stab erhält erst von  $C'$  an das Moment der Konsole:  $M = 0,52 \cdot 9 (1,4 + 0,275 - 0,885) + 0,4 \left( 0,6 + \frac{0,23}{2} \right) = -3,99 \text{ m/t}$ , und zwar wirkt dasselbe senkrecht zum Stab, so daß es mit der schiefen Länge  $C'E$  zu multiplizieren ist. Auf den Stab  $EF$

wirken die Momente der inneren Balken  $M = 0,4 \cdot 9 (0,885 - 0,275) = +2,20 \text{ m/t}$ , und für die angenäherte gleichmäßige Belastung desselben ist  $M = (0,5 \cdot 0,3 \cdot 2,4) \cdot \frac{1,77^2}{8} = +0,14 \text{ m/t}$ .

Man erhält daher als Momentenflächen die in Abb. 17 gezeichneten negativen Rechtecke und positiven Trapeze und Parabeln für ganze und halbe Schneebelastung. Hierbei ist es am einfachsten, die vertikale Projektion derselben aufzuzeichnen und deren Flächeninhalte mit den schiefen Stablängen zu multiplizieren, weil sie eigentlich senkrecht zu den Stäben gezeichnet werden sollten, wie dies aus dem Summenausdruck  $X = \int \frac{M_0 ds}{J} \cdot y = \Sigma \frac{F'_0 \cdot y_s}{J}$  hervorgeht. Man erhält daher folgende Tabelle für die Momentenflächen von  $G$  (s. Abb. 19) nach links, wobei die Höhen der Parabeln zu denen der Trapeze addiert sind und beide nur für den Stab  $EF$  gelten, auf welchen die Kräfte wirken (die auch für  $C'E$  und  $D'F$  geltenden Rechtecke können direkt in den Summenausdruck für  $X$  eingesetzt werden).

Trapez	Ganze Schneebelastung		Halbe Schneebelastung		Bemerkungen
	1	2	1	2	
$a + 2b$ .....	7,00	3,77	6,34	3,41	
$a + b$ .....	4,67	3,05	4,23	2,76	
$h$ ( $h$ schief) .....	0,275	0,425	0,275	0,425	
$e = \frac{h}{3} \cdot \frac{a + 2b}{a + b}$ .....	0,137	0,175	0,137	0,175	(mit Rechenstab)
$F'_0 = h \cdot \frac{a + b}{2}$ .....	0,642	0,648	0,581	0,586	$J_3 = 10$
$x_s$ (Abstand $+ e$ ) .....	0,137	0,450	0,137	0,450	
$y'$ (Abstand $+ \frac{e}{h} \cdot \text{Höhe}$ ) .....	0	0	0	0	$y_s = 3 - y'$

Mit  $F'_0 = \frac{F_0}{J}$  sowie  $J_1 = 1$  und  $J_2 = J_3 = 10$  wird daher für den Zweigelenkrahmen:

$$X = \frac{\Sigma F'_0 \cdot y_s}{T_x} = \left\{ \frac{0,642}{10} \cdot 3 + \frac{0,648}{10} \cdot 3 - \frac{3,99 \cdot 0,7}{10} \cdot 3 - \frac{3,99 \cdot 0,21}{10} \cdot 2,9 \right\} \cdot 2 = 11,92 = -0,116 (0,103) \text{ t}$$

Vom Winddruck erhält man bei  $F: M = \frac{0,725^2}{2} \cdot 9 \cdot 0,150 = 0,98 \cdot \frac{0,725}{2} = -0,355 \text{ m/t}$ , ferner bei 0,2 m

Abstand von  $F'$  (Unterkante des Balkens  $EF$ ):  $M = 0,36 + 0,98 \cdot 0,2 + (0,2 \cdot 9 \cdot 0,150) \cdot 0,1 = -0,58 \text{ m/t}$ , bei 1,6 m

Abstand:  $M = 0,58 + 1,4 (0,98 + 0,27) + \left( \frac{0,265 + 0,30}{2} \cdot 1,4 \cdot 0,150 \right) \cdot 0,7 = 2,33 + 0,04 = -2,37 \text{ m/t}$  und bei

$B: M = 0,58 + (0,98 + 0,27) \cdot 2,8 + \left( \frac{0,30 + 0,23}{2} \cdot 2,8 \cdot 0,150 \right) \cdot 1,4 = 4,08 + 0,16 = -4,24 \text{ m/t}$ .

Die Momentenflächen sind von oben an (wobei das Rechteck mit  $0,36 \text{ m/t}$  Höhe bis  $F''$  anzunehmen ist, weil der Winddruck von hier an einwirkt)

$$F_0 = 0,36 \cdot 0,525 = -0,19 \text{ m/t mit } y_s = 3,0,$$

$$F_0 = \left( 0,21 \cdot \frac{0,36 + 0,58}{2} \right) = -0,10 \text{ m/t mit}$$

$$y_s = 3,0 - \frac{0,2}{3} \cdot \frac{0,36 + 2 \cdot 0,58}{0,36 + 0,58} = 2,89 \text{ m},$$

$$F_0 = \left( 0,36 \cdot \frac{0,58 + 1,02}{2} \right) = -0,29 \text{ m/t mit}$$

$$y_s = 2,8 - \frac{0,35}{3} \cdot \frac{0,58 + 2 \cdot 1,02}{0,58 + 1,02} = 2,61 \text{ m},$$

$$F_0 = \left( 2,45 \cdot \frac{1,02 + 4,08}{2} \right) = -6,24 \text{ m/t mit}$$

$$y_s = \frac{2,45}{3} \cdot \frac{4,08 + 2 \cdot 1,02}{4,08 + 1,02} = 0,98 \text{ m},$$

$$F_0 = \frac{0,16 \cdot 2,8}{3} = -0,15 \text{ m/t mit } y_s = \frac{2,8}{4} = 0,7 \text{ m (für die Parabel)}.$$

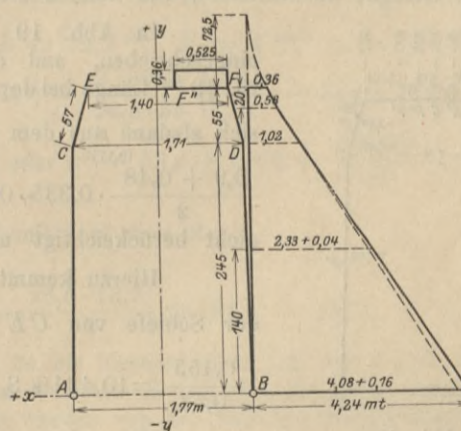


Abb. 18.

Es ist daher der Horizontalschub

$$X = \frac{\Sigma F'_0 \cdot y_s}{T_x} = \left\{ -\frac{0,19 \cdot 3}{10} - \frac{0,10 \cdot 2,89}{10} - \frac{0,29 \cdot 2,61}{10} - \frac{6,24}{1} \cdot 0,98 - \frac{0,15}{1} \cdot 0,7 \right\} : 11,92 = -0,536 \text{ t.}$$

Als vertikalen Gegendruck bei  $A$  erhält man  $V = \frac{4,24}{1,77} = 2,40 \text{ t}$ , und der zugehörige Horizontalschub ist

$$X = \frac{V \cdot G \cdot z_u \cdot l}{2 T_x} = \frac{2,4 \cdot 5,15 \cdot 1,30 \cdot 1,77}{2 \cdot 11,92} = 1,193 \text{ t, somit bleibt als Differenz } X = 1,193 - 0,536 = 0,657 \text{ t, und}$$

aus dem ganzen Winddruck  $= 0,98 + 0,27 + 0,11 = 1,36 \text{ t}$  ergibt sich der Horizontalschub bei  $B = 1,36 - 0,657 = 0,703 \text{ t}$ .

Aus dem kleinen Horizontalschub  $= -0,116 (0,103) \text{ t}$  für vertikale Belastung und dem beinahe gleich großen Horizontalschub bei  $A$  und  $B$  für den horizontalen Winddruck geht hervor, daß die Berechnung des Rahmens angenähert mit dem halben Winddruck als Horizontalschub ausgeführt werden kann.

Doch ist auch die genaue Berechnung leicht durchzuführen, und die Momente in jedem Schnitt des Rahmens ergeben sich aus der Gleichung  $M_x = V \cdot x - H \cdot y + M_0$ , und man erhält für die ganze Schneebelastung  $X = H = -0,116 \text{ t}$  ( $V \cdot x + M_0$  ist bei vertikaler Belastung schon in dem oben berechneten  $M$  enthalten) und für das nach auswärts gerichtete  $H$ :

$$M_a = 0, \quad M_{a'} = 1,4 \cdot 0,116 = +0,16, \quad M_c = 2,45 \cdot 0,116 = +0,28, \quad M_{c'} = -3,99 + 2,8 \cdot 0,116 = -3,67,$$

$$M_e = -3,99 + 3 \cdot 0,116 + 0,72 = -2,92, \quad M_{e'} = -3,99 + \frac{0,51}{0,61} \cdot 2,20 + 0,12 + 3 \cdot 0,116 = -1,68,$$

$$M_{e''} = -3,99 + 2,20 + 0,13 + 0,35 = -1,31 \text{ und } M_g = -3,99 + 2,20 + 0,14 + 0,35 = -1,30 \text{ m/t}$$

rechts sind dieselben Momente vorhanden).

Ebenso erhält man bei halber Schneebelastung mit  $X = H = -0,103 \text{ t}$ :

$$M_a = 0, \quad M_{a'} = 1,4 \cdot 0,103 = +0,14, \quad M_c = 2,45 \cdot 0,103 = +0,25, \quad M_{c'} = -3,56 + 2,8 \cdot 0,103 = -3,27,$$

$$M_e = -3,56 + \frac{0,185}{0,61} \cdot 1,98 + 0,05 + 3 \cdot 0,103 = -2,60, \quad M_{e'} = -3,56 + \frac{0,51}{0,61} \cdot 1,98 + 0,12 + 3 \cdot 0,103 = -1,48,$$

$$M_{e''} = -3,56 + 1,98 + 0,13 + 0,31 = -1,14, \quad M_g = -3,56 + 1,98 + 0,14 + 0,31 = -1,13 \text{ m/t.}$$

Für den horizontalen Winddruck ist mit  $H = 0,657 \text{ t}$ ,  $V = 2,4 \text{ t}$ :

$$M_a = 0, \quad M_{a'} = -0,657 \cdot 1,4 + 2,4 \cdot 0,018 = -0,89, \quad M_c = -0,657 \cdot 2,45 + 2,4 \cdot 0,03 = -1,54,$$

$$M_{c'} = -0,657 \cdot 2,8 + 2,4 \cdot 0,129 = -1,53, \quad M_e = -0,657 \cdot 3 + 2,4 (0,885 - 0,7) = -1,53,$$

$$M_{e'} = -0,657 \cdot 3 + 2,4 (0,885 - 0,375) = -0,75, \quad M_{e''} = -1,97 + 2,4 (0,885 - 0,175) = -0,27,$$

$$M_g = -1,97 + 2,4 \cdot 0,885 = +0,15, \quad M_{g'} = -1,97 + 2,4 (0,885 + 0,175) - 0,355 = +0,22,$$

$$M_{g''} = -1,97 + 2,4 (0,885 + 0,375) - 0,355 = +0,70, \quad M_f = -1,97 + 2,4 (0,885 + 0,7) - 0,355 = +1,48,$$

$$M_{f'} = -0,657 \cdot 2,8 + 2,4 (1,77 - 0,129) - 0,58 = +1,52, \quad M_{f''} = -0,657 \cdot 2,45 + 2,4 (1,77 - 0,03) - 1,02 = +1,55,$$

$$M_{b'} = -0,657 \cdot 1,4 + 2,4 (1,77 - 0,018) - 2,37 = +0,92, \quad M_b = 2,4 \cdot 1,77 - 4,24 = 0.$$

Die Summierung dieser Momente ergibt für ganze Schneebelastung und halben Winddruck:

$$M_a = 0, \quad M_{a'} = +0,16 - 0,45 = -0,29, \quad M_c = +0,28 - 0,77 = -0,49,$$

$$M_{c'} = -3,67 - 0,77 = -4,44, \quad M_e = -2,92 - 0,77 = -3,69, \quad M_{e'} = -1,68 - 0,38 = -2,06,$$

$$M_{e''} = -1,31 - 0,14 = -1,45, \quad M_g = -1,30 + 0,07 = -1,23, \quad M_{g'} = -1,31 + 0,11 = -1,20,$$

$$M_{g''} = -1,68 + 0,35 = -1,33, \quad M_f = -2,92 + 0,74 = -2,18, \quad M_{f'} = -3,67 + 0,76 = -2,91,$$

$$M_{f''} = +0,28 + 0,78 = +1,06, \quad M_{b'} = +0,16 + 0,46 = +0,62 \text{ m/t.}$$

Ebenso erhält man für halbe Schneebelastung und ganzen Winddruck:

$$M_a = 0, \quad M_{a'} = +0,14 - 0,89 = -0,75, \quad M_c = +0,25 - 1,54 = -1,29,$$

$$M_{c'} = -3,27 - 1,53 = -4,80, \quad M_e = -2,60 - 1,53 = -4,13, \quad M_{e'} = -1,48 - 0,75 = -2,23,$$

$$M_{e''} = -1,14 - 0,27 = -1,41, \quad M_g = -1,13 + 0,15 = -0,98, \quad M_{g'} = -1,14 - 0,27 = -1,41,$$

$$M_{g''} = -1,13 + 0,15 = -0,98, \quad M_{f'} = -1,14 + 0,22 = -0,92, \quad M_f = -1,48 + 0,70 = -0,78,$$

$$M_{f''} = -2,60 + 1,48 = -1,12, \quad M_{f'''} = -3,27 + 1,52 = -1,75, \quad M_{f''''} = +0,25 + 1,55 = +1,80,$$

$$M_{b'} = +0,14 + 0,92 = +1,06 \text{ m/t.}$$

Die Formeln für die Berechnung der Temperaturspannungen sind auf S. 2 angegeben ( $H_x$  ist hierbei in der  $x$ -Achse durch die Gelenke anzunehmen), und können dieselben bei der geringen Breite des Bahnsteigs vernachlässigt werden.

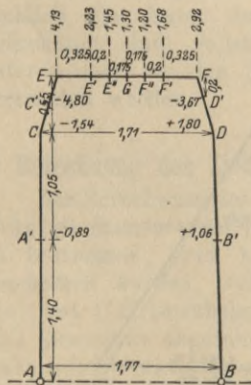


Abb. 19.

In Abb. 19 sind die Maximalbiegemomente für die Berechnung des Rahmens eingeschrieben, und das größte Moment bei  $C'$  kann mit dem schiefen Querschnitt von rd.  $49 \text{ cm}$  Länge bei doppelter Armierung berechnet werden (s. Abb. 20). Die Normalkraft  $N_x$  ergibt sich alsdann aus dem Auflagerdruck  $A = 0,46 \cdot 9 + 0,36 \cdot 9 + 0,40 + 0,92 \cdot 0,29 \cdot 0,3 \cdot 2,4 + \frac{0,9 + 0,48}{2} \cdot 0,335 \cdot 0,3 \cdot 2,4 + 0,4 \cdot 0,3 \cdot 0,375 \cdot 2,4 = 8,25 \text{ t}$  (die Abrundung bei  $C$  ist beim Gewicht nicht berücksichtigt und wird durch die volle Rechnung des inneren Balkens ausgeglichen).

Hierzu kommt noch vom Winddruck  $V = 2,40 \text{ t}$  somit zusammen  $10,65 \text{ t}$ , und wegen der Schiefe von  $CE$  wird  $N_x = V_x \sin \varphi + H_x \cos \varphi = 10,65 \cdot \frac{0,55}{0,57} + (0,657 - 0,103) \cdot \frac{0,155}{0,57} = 10,43 \text{ t}$  (s. S. 14—15).

Man erhält nun für doppelte Armierung nach  $B2c$  mit  $f_e = f'_e$  für

$$M_x = -4,80 \text{ m/t, } N_x = +10,43 \text{ t, } c = \frac{M_x}{N_x} = \frac{-4,80}{10,43} = -0,460 \text{ m, } b = 30 \text{ cm, } h = 44 \text{ cm, } h' = 4 \text{ cm, } p = 1,$$

$g_1 = -0,460 + 0,245 = -22 \text{ cm}$ ,  $g_2 = 22 + 44 = 66 \text{ cm}$ ,  $\sigma_b = 35 \text{ kg}$  (bei Stützen):

$$x^2 - 2x(h+h') = -\frac{3}{2}(h^2+h'^2) + \frac{3P}{b \cdot \sigma_b} \left\{ \left( \frac{h}{x} - 1 \right) \cdot g_2 + \left( 1 - \frac{h'}{x} \right) (g_1 - h') \right\}, \text{ oder}$$

$$x^2 - 2x(44+4) = -\frac{3}{2}(44^2+4^2) + \frac{3 \cdot 10430}{30 \cdot 35} \left\{ \left( \frac{44}{x} - 1 \right) \cdot 66 + \left( 1 - \frac{4}{x} \right) (-22-4) \right\}, \text{ oder } x^2 - 96x = -2928 + 29,80 \left( \frac{3008}{x} - 92 \right), \text{ oder } x^2 - 96x + 5670 - \frac{89638}{x} = 0.$$

Für  $x = \begin{cases} 20 \\ 25 \end{cases}$  ist  $f(x) = \begin{cases} -332 \\ +309 \end{cases}$ , somit  $x = 25 - \frac{5 \cdot 309}{641} = 23$

und hierfür  $f(x) = +94$  und genaues  $x = 23 - \frac{3 \cdot 94}{426} = 22,3$  mit  $f(x) = +3$ .

Ferner ist  $n \left( 1 - \frac{h'}{x} \right) f'_e (h - h') = \frac{P \cdot g_2}{\sigma_b} - \frac{b \cdot x}{6} (3h - x)$ ,

oder  $15 \left( 1 - \frac{4}{22,3} \right) f'_e (44 - 4) = \frac{10430}{35} \cdot 66 - \frac{30 \cdot 22,3}{6} (3 \cdot 44 - 22,3)$ ,

oder  $f'_e = 41,6 - 24,8 = 16,8 \text{ qcm}$ , so daß  $4 \varnothing 24 = 18,1 \text{ qcm}$  genügen.

Bei  $D$  erhält man  $M_x = +1,80 \text{ m/t}$ ,  $B = 8,25 - 2,4 = +6,85 \text{ t}$  und als kleinste Breite ca.  $36 \text{ cm}$ , somit nach  $B2a$  mit  $f_e = f'_e = 18,1$ ,  $c = \frac{+1,80}{6,85} = 0,262 \text{ m}$ ,  $b = 29 \text{ cm}$ ,  $h = 32 \text{ cm}$ ,  $h' = 4 \text{ cm}$ ,  $g_1 = -0,26 +$

$$+0,18 = -8 \text{ cm}, g_2 = 8 + 32 = 40 \text{ cm}: x^2 - 3g_1 \cdot x = \frac{6n f'_e}{b} \left\{ \left( \frac{h}{x} - 1 \right) \cdot g_2 + \left( 1 - \frac{h'}{x} \right) \cdot (g_1 - h') \right\} = \frac{6 \cdot 15 \cdot 18,1}{29} \left\{ \left( \frac{32}{x} - 1 \right) \cdot 40 + \left( 1 - \frac{4}{x} \right) \cdot (-8 - 4) \right\}, \text{ oder } x^2 + 3 \cdot 8 \cdot x = 56,172 (1328 - 52), \text{ oder } x^2 + 24 \cdot x + 2921 - \frac{74596}{x} = 0.$$

Für  $x = \begin{cases} 20 \\ 19 \end{cases}$  ist  $f(x) = \begin{cases} +71 \\ -188 \end{cases}$ , somit  $x = 20 - \frac{1 \cdot 71}{259} = 19,7$  und hierfür  $f(x) = -5$ .

Ferner ist

$$\sigma_b = \frac{2P \cdot g_2}{b \cdot x \left( h - \frac{x}{3} \right) + 2n f'_e (h - h') \left( 1 - \frac{h'}{x} \right)} = \frac{2 \cdot 6850 \cdot 40}{29 \cdot 19,7 (32 - 6,6) + 2 \cdot 15 \cdot 18,1 (32 - 4) \left( 1 - \frac{4}{19,7} \right)} = \frac{548,000}{14,5 + 12,1} = 20,6 \text{ kg}.$$

Bei  $B'$  ist  $M_x = +1,06 \text{ m/t}$  mit  $B = 8,25 + \left( \frac{0,29 + 0,265}{2} \right)^2 \cdot 1,05 \cdot 2,4 = 8,45 \text{ t}$ , wovon  $2,4 \text{ t}$  für den

Winddruck abgehen, somit  $= 6,05 \text{ t}$ ,  $c = \frac{M_x}{N_x} = \frac{1,06}{6,05} = 0,175 \text{ m}$ , und für die Breite  $b = \frac{30 + 23}{2} = 26,5 \text{ cm}$ ,

$g_1 = -17,5 + 13,3 = -4,2 \text{ cm}$ ,  $g_2 = 22,5 + 4,2 = 26,7 \text{ cm}$ ,  $h = 22,5 \text{ cm}$ ,  $h' = 4 \text{ cm}$ ,  $\sigma_b = 35 \text{ kg}$ . Obige

Gleichung (nach  $B2c$ ) lautet daher:  $x^2 - 2x \cdot 26,5 = -\frac{3}{2}(26,5^2 + 4^2) + \frac{3 \cdot 6050}{26,5 \cdot 35} \left\{ \left( \frac{22,5}{x} - 1 \right) \cdot 26,7 + \left( 1 - \frac{4}{x} \right) \cdot (-4,2 - 4) \right\}$ , oder  $x^2 - 53x = -783 + 19,569 \left( \frac{633,6}{x} - 34,9 \right)$ , oder  $x^2 - 53x + 1466 - \frac{12399}{x} = 0$ .

Für  $x = \begin{cases} 14 \\ 13 \end{cases}$  ist  $f(x) = \begin{cases} +35 \\ -8 \end{cases}$  und  $x = 13 + \frac{8 \cdot 1}{43} = 13,2$  mit  $f(x) = +2$ .

Ferner ist  $15 \left( 1 - \frac{4}{13,2} \right) f'_e \cdot (22,5 - 4) = \frac{6050 \cdot 26,7}{35} - \frac{26,5 \cdot 13,2}{6} (3 \cdot 22,5 - 13,2)$ ,  $f'_e = 23,9 -$

$16,4 = 7,5 \text{ qcm}$ , so daß  $2 \varnothing 24 = 9,0 \text{ qcm}$  genügen, und die vier Eisen  $\varnothing 24$  bis hierher gehen und nun  $2 \varnothing 24$  auf beiden Seiten genügen. Dieselben werden bei den als Gelenken auszubildenden Punkten  $A$  und  $B$  gelenkartig abgebogen und in das Betonfundament vertikal hinabgeführt. An die Stelle der Gelenke werden von der Seite her Asphaltfilzplatten eingeschoben, damit die Beweglichkeit der Ständer vorhanden ist, welche als Grundlage für die Berechnung gedient hat. Die abgebogenen Eisen werden auch auf Schub beansprucht, und zwar mit  $0,703 + 0,103 = 0,806 \text{ t}$  bei  $B$ , was bei  $4 \varnothing 24 = 18,1 \text{ qcm}$  nicht in Betracht kommt.

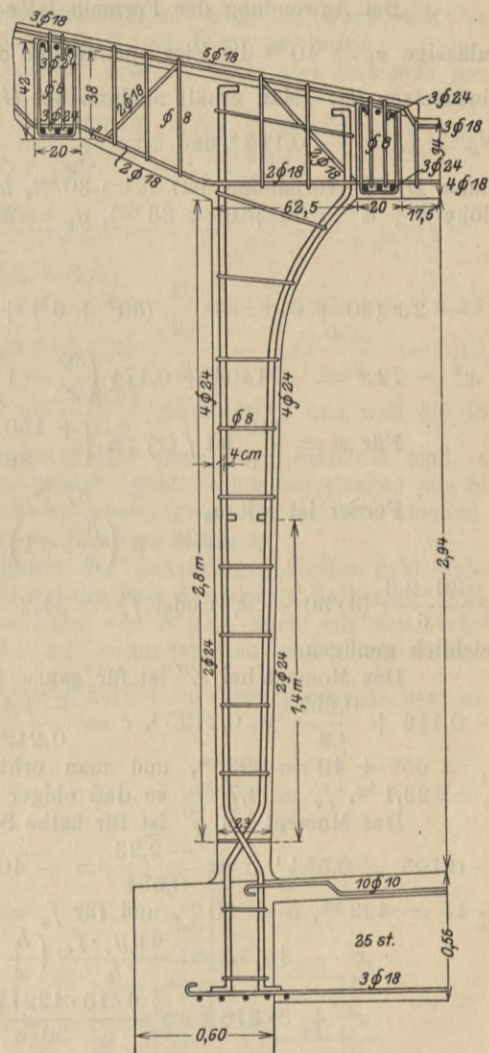


Abb. 20.

Die obige Berechnung könnte mit denselben Momentenflächen für den bei  $A$  und  $B$  eingespannten Rahmen durchgeführt werden, und es ist alsdann nur noch das Trägheitsmoment in Beziehung auf die  $y$ -Achse:

$$T_x = \int y^2 \frac{ds}{J} = \Sigma \frac{1}{3} w (x_1^2 + x_1 \cdot x_2 + x_2^2) \text{ sowie } V = Y = \frac{\Sigma F'_0 \cdot x_s}{T_y} \text{ und } M = Z = - \frac{\Sigma F'_0}{G}$$

zu berechnen, und hierfür ergeben sich die Momente in jedem Schnitt aus  $M_x = M + M_0 - H \cdot y - V \cdot x$ , wobei auch die Vorzeichen zu berücksichtigen sind und alsdann kein Fehler vorkommen kann (s. meine Veröffentlichung von 1911).

Bei den Momenten des oberen Balkens  $EF$  sind nur kleine Normalkräfte zu berücksichtigen, und die Angriffspunkte der Stützlinien erhalten sehr große Abstände (bei einfacher Biegung ist ihr Abstand unendlich groß).

Bei Anwendung der Formeln B 2 c (s. oben) für doppelte Armierung mit  $f_e = f'_e$  und  $p = 1$  werden für das zulässige  $\sigma_b = 40 \text{ kg}$  die Eisenspannungen  $\sigma_e$  bedeutend größer als  $1000 \text{ kg}$ , weshalb  $\frac{1}{\sigma_b} = \frac{n}{\sigma_e} \left( \frac{h}{x} - 1 \right)$  mit  $\sigma_e = 1000 \text{ kg}$  einzusetzen ist. Man erhält alsdann bei  $G$  (s. Abb. 19) für ganze Schneebelastung ohne Winddruck  $M_x = -1,30 \text{ m/t}$ ,  $N_x = H = -0,116 \text{ t}$  und  $c = \frac{M_x}{N_x} = \frac{-1,30}{-0,116} = +1,121 \text{ m}$ , und (weil bei negativem  $M$  immer außen Zug und innen Druck vorhanden ist)  $h = 30 \text{ cm}$ ,  $h' = 6 \text{ cm}$ ,  $g_1 = -1121 + 18 = -1103 \text{ cm}$  (für die Berechnung gilt als Höhe  $h + h' = 30 + 6 = 36 \text{ cm}$ ),  $g_2 = h - g_1 = 30 + 1103 = 1133 \text{ cm}$ ,  $b = 30 \text{ cm}$ ,  $\sigma_e = 1000 \text{ kg}$ , und hierfür ist:

$$x^2 - 2x(30 + 6) = -\frac{3}{2}(30^2 + 6^2) + \frac{3 \cdot 116}{30} \cdot \frac{15}{1000} \left( \frac{30}{x} - 1 \right) \cdot \left\{ \left( \frac{30}{x} - 1 \right) 1133 + \left( 1 - \frac{6}{x} \right) (-1103 - 6) \right\} \text{ oder}$$

$$x^2 - 72x = -1404 + 0,174 \left( \frac{30}{x} - 1 \right) \cdot \left( \frac{40644}{x} - 2242 \right) \text{ oder } x^2 - 72x + 1014 + \frac{18775}{x} - \frac{212162}{x^2} = 0.$$

$$\text{Für } x = \begin{cases} 10 \\ 9 \end{cases} \text{ ist } f(x) = \begin{cases} +150 \\ -86 \end{cases} \text{ und } x = 9 + \frac{86 \cdot 1}{236} = 9,3 \text{ mit } f(x) = -4.$$

Ferner ist mit  $\sigma_b = \frac{\sigma_e}{n \left( \frac{h}{x} - 1 \right)} = \frac{1000}{15 \left( \frac{30}{9,3} - 1 \right)} = 30 \text{ kg} : 15 \left( 1 - \frac{6}{9,3} \right) f'_e (30 - 6) = \frac{116 \cdot 1133}{30} - \frac{30 \cdot 9,3}{6} (3 \cdot 30 - 9,3)$  oder  $f'_e = 34,2 - 29,3 = 4,9 \text{ qcm}$ , so daß oben  $3 \varnothing 18 = 7,6 \text{ qcm}$  und unten  $4 \varnothing 18 = 10,2 \text{ qcm}$  reichlich genügen.

Das Moment bei  $E'$  ist für ganze Schneebelastung und halben Winddruck  $M_x = -1,45 \text{ m/t}$  mit  $N_x = H = -0,116 + \frac{0,657}{2} = 0,2125 \text{ t}$ ,  $c = \frac{-1,45}{0,2125} = -682 \text{ cm}$ ,  $h = 40 \text{ cm}$ ,  $h' = 6 \text{ cm}$ ,  $g_1 = -682 + 23 = -659 \text{ cm}$ ,  $g_2 = 659 + 40 = 699 \text{ cm}$ , und man erhält nach obigen Formeln für  $b = 30 \text{ cm}$  und  $\sigma_e = 1000 \text{ kg} : x = 10,3 \text{ cm}$ ,  $\sigma_b = 23,1 \text{ kg}$ ,  $f'_e = 3,7 \text{ qcm}$ , so daß obiger Querschnitt vollständig genügt.

Das Moment bei  $E'$  ist für halbe Schneebelastung und ganzen Winddruck  $M_x = -2,23 \text{ m/t}$  mit  $N_x = 0,657 - 0,103 = 0,554 \text{ t}$ ,  $c = \frac{-2,23}{0,554} = -403 \text{ cm}$ ,  $h = 44 \text{ cm}$ ,  $h' = 6 \text{ cm}$ ,  $g_1 = -403 + 25 = -378 \text{ cm}$ ,  $g_2 = 378 + 44 = 422 \text{ cm}$ ,  $b = 30 \text{ cm}$ , und für  $f_e = 3 \varnothing 18 = 7,6 \text{ qcm}$  und  $f'_e = 2 \varnothing 18 = 5,1 \text{ qcm}$  erhält man nach B 2 a:

$$x^2 - 3g_1 \cdot x = \frac{6ng_2 \cdot f_e}{b} \left( \frac{h}{x} - 1 \right) + \frac{6n(g_1 - h') \cdot f'_e}{b} \left( 1 - \frac{h'}{x} \right) \text{ oder}$$

$$x^2 + 3 \cdot 378x = \frac{6 \cdot 15 \cdot 422 \cdot 7,6}{30} \left( \frac{44}{x} - 1 \right) + \frac{6 \cdot 15 \cdot (-378 - 6) \cdot 5,1}{30} \left( 1 - \frac{6}{x} \right) \text{ oder}$$

$$x^2 + 1134x = 9621,6 \left( \frac{44}{x} - 1 \right) - 5875,2 \left( 1 - \frac{6}{x} \right) \text{ oder } x^2 + 1134x + 3746 - \frac{458602}{x} = 0.$$

$$\text{Für } x = \begin{cases} 20 \\ 18 \end{cases} \text{ ist } f(x) = \begin{cases} +3896 \\ -996 \end{cases} \text{ und } x = 18 + \frac{2 \cdot 996}{4892} = 18,4 \text{ cm mit } f(x) = +26.$$

Ferner ist  $\sigma_b = \frac{2P \cdot g_2}{b \cdot x \left( \frac{h}{x} - 1 \right) + 2nf'_e(h - h') \left( 1 - \frac{h'}{x} \right)} = \frac{2 \cdot 554 \cdot 422}{30 \cdot 18,4(44 - 6,1) + 2 \cdot 15 \cdot 5,1(44 - 6) \left( 1 - \frac{4}{18,4} \right)}$   
 $= \frac{467,576}{20,9 + 4,55} = 18,4 \text{ kg}$ , und  $\sigma_e = n\sigma_b \left( \frac{h}{x} - 1 \right) = 15 \cdot 18,4 \left( \frac{44}{18,4} - 1 \right) = 384 \text{ kg}$ , sowie  $\sigma'_e = n\sigma_b \left( 1 - \frac{h'}{x} \right) = 15 \cdot 18,4 \left( 1 - \frac{6}{18,4} \right) = 186 \text{ kg}$ .

### 3. Auftragen der Stützlinien und Ableiten der Hauptformeln.

Aus der Berechnung eines halbkugelförmigen Wasserbehälters (s. Ber. der Eisenbetonkonstr. von 1910) hat sich auf S. 89–90 ergeben, daß aus den positiven oder negativen Momenten  $M_x$  und den als Druck in positivem Sinn (mit  $V_x$  nach oben und  $H_x$  nach rechts) und als Zug in negativem Sinn (mit  $V_x$  nach unten und  $H_x$  nach links) wirkenden Normalkräften  $N_x = V_x \cdot \sin \varphi + H_x \cdot \cos \varphi$  die

Lage des aus  $c = \frac{M_x}{N_x}$  zu bestimmenden Schnittes der Stützlinie mit der senkrecht zur Mittellinie stehenden Fuge hervorgeht und der Abstand  $c$  derselben von der Fugemitte aus für positive  $c$  nach außen und für negative  $c$  nach innen aufzutragen ist. Ebenso rufen die positiven Biegemomente  $M_x$  immer außen Druck und innen Zug und die negativen  $M_x$  immer außen Zug und innen Druck (vgl. die Momente eines kontinuierlichen Trägers) hervor, und es sollen diese Annahmen auch aus den Stützlinien für obigen Rahmen nachgewiesen werden.

In Abb. 21 ist die Stützlinie für den Winddruck gezeichnet, und zwar durch die Bestimmung der Kämpferdrücke bei  $A$  und  $B$  aus  $V = + 2,4^t$  und  $H = + 0,657^t$  sowie  $V = - 2,4^t$  und  $H = + 0,703^t$  und schneiden sich dieselben auf der im Abstande

$$e = \left\{ 0,11 \cdot 1,4 + 0,27 \cdot 2,9 + 0,98 \left( 3,0 + \frac{0,725}{2} \right) \right\} : 1,36 = 3,112^m$$

liegenden Resultante des Winddrucks.

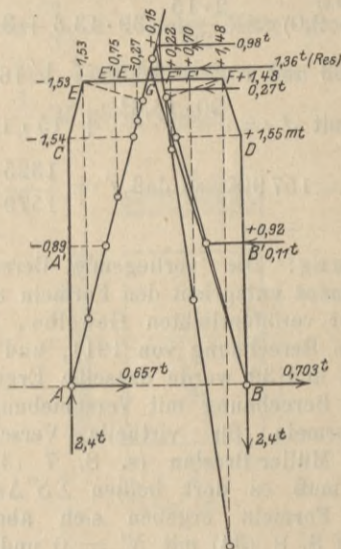


Abb. 21.

Für die eingeschriebenen Momente sind nun die Normalkräfte zu bestimmen, und man erhält für  $AC$  und  $BD$ :  $\pm 2,4^t$  und für  $CE$  und  $DF$  nach obiger Formel:

$$N_x = V_x \cdot \sin \varphi + H_x \cdot \cos \varphi = 2,4 \cdot \frac{0,55}{0,57} + 0,657 \cdot$$

$\frac{0,155}{0,57} = \pm 2,49^t$ , und für  $EF$  bis  $F''$ :  $+ 0,657^t$  und von hier an  $- 0,98 + 0,657 = - 0,323^t$  (weil in  $F''$  der Winddruck zu wirken beginnt). Hieraus ergeben sich die positiven und negativen Abstände  $c = \frac{M_x}{N_x}$ , welche

(wie oben angegeben ist) nach außen und innen aufzutragen sind und dann genau der gezeichneten Stützlinie entsprechen, und die von  $F''$ ,  $F'$  und  $F$  nach unten eingetragenen Abstände liegen auf der Resultante der linksseitigen Kräfte mit  $0,98^t$ , und weil  $N_x$  für sie eine Zugspannung ist, so rufen die positiven Momente außen Druck und innen Zug hervor (bei  $E''$ ,  $E'$  und  $E$  ist für die negativen Momente in Verbindung mit einer Druckspannung das Umgekehrte der Fall, und die Abstände sind gleichfalls nach unten abzutragen).

Wie nun die durch Ringe bezeichneten positiven und negativen Abstände  $c$  in die Stützlinie fallen und ihre richtige Aufzeichnung dartun, so gilt dasselbe auch von der in Abb. 22 gezeichneten Stützlinie für halbe Schneebelastung und ganzen Winddruck, und zwar tritt hierbei insbesondere hervor, daß dieselbe erst an der Stelle mit den vertikalen und horizontalen Kräften zu verbinden ist, wo diese zu wirken anfangen. Zur Bestimmung des Auflagerdruckes soll die gleichförmige Belastung des Balkens  $EF$  zu einer Resultante in der Mitte  $= 2(0,17 + 0,11) = 0,56^t$  vereinigt werden, und über den Ständern wirken dann noch die Lasten  $0,19^t$  und in deren Mitte  $\left( \frac{0,29 + 0,23}{2} \right)^2 \cdot 2,45 \cdot 2,4 = 0,40^t$ , so daß (s. oben)  $A = 8,25 + 0,40 + 2,40 = 11,05^t$  und  $B = 8,25 + 0,40 - 2,40 = 6,25^t$  wird.

Bis  $C$  und  $D$  (bzw. bis zur Konsole bei  $C'$  und  $D'$ ) erhält man die Kämpferdrücke bei  $A$  und  $B$  aus der Zusammensetzung von  $11,05^t$ ,  $0,554^t$  und  $0,40^t$  bei  $A$  sowie von  $6,25^t$ ,  $0,806^t$  und  $0,40^t$  bei  $B$ , und die Abstände  $c$  ergeben sich wie oben und fallen mit der Stützlinie zusammen. Von der Stelle an, wo der obere Balken mit den Konsolen beginnt, sind auch die Lasten  $4,14^t$ ,  $0,4^t$  und  $0,19^t$  hiermit zu verbinden, und es ist am einfachsten, diese drei Lasten mit den obigen zwei zu einer vertikalen Resultante zusammenzusetzen und sie dann mit den Horizontalschüben bei  $A$  und  $B$  zu verbinden.

Für  $1^m$  Abstand von der Mitte des Rahmens nach links erhält man alsdann:

$$e \cdot (- 4,14 - 0,4 - 0,19 - 0,4 + 11,05) = - 4,14 \cdot 0,675 - 0,4 \cdot 0,6 - 11,05 \cdot \frac{0,23}{2} + 0,4 \cdot \frac{0,26}{2} + \frac{0,19 \cdot 0,29}{2} \text{ oder } e = \frac{- 4,2257}{+ 5,92} = + 0,714^m,$$

und ebenso nach rechts:

$$e \cdot (- 4,14 - 0,4 - 0,19 - 0,4 + 6,25) = + 4,14 \cdot 0,675 + 0,4 \cdot 0,6 + 6,25 \cdot \frac{0,23}{2} - 0,4 \cdot \frac{0,26}{2} - 0,19 \cdot \frac{0,29}{2} \text{ oder } e = \frac{3,6737}{1,12} = 3,280^m,$$

und weil die Resultanten in beiden Fällen nach oben gerichtet sind, so ist der erstere Abstand  $e$  nach rechts aufzutragen (um ein negatives Moment zu erhalten) und der letztere Abstand  $e$  nach links (für ein positives Moment).

Die Resultante der linksseitigen Kräfte geht daher durch  $K$  und ist mit der Last des inneren Balkens  $= 3,24^t$  zusammenzusetzen und von  $F''$  an auch mit dem Winddruck  $= 0,98^t$  zu verbinden, so daß der Abstand  $c = \frac{- 0,92}{- 0,426} = + 2,15^m$  auf ihrer Resultante liegt und

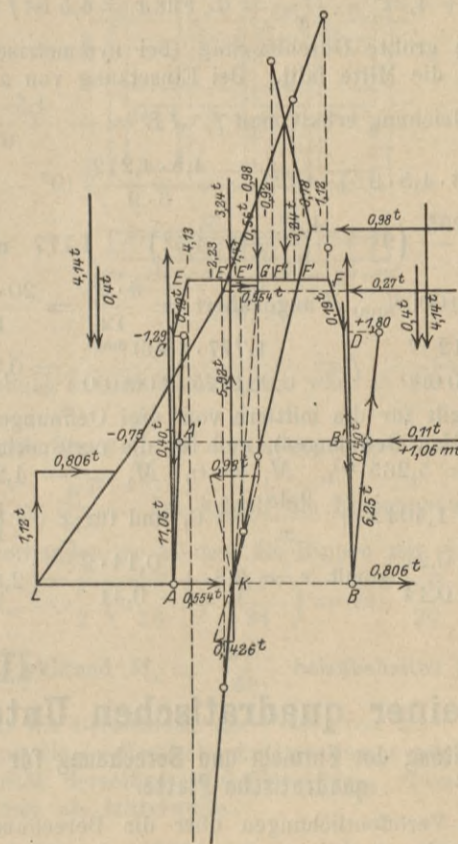


Abb. 22.

nach außen aufzutragen ist. Für  $E$ ,  $E'$ ,  $E''$  und  $G$  wird mit  $N_x = + 0,554^t$   $c$  negativ, so daß es nach innen aufzutragen ist und genau mit der Stützlinie zusammen-

trifft (wie die Ringe dartun), und nur bei  $G$  kann eine kleine Abweichung eintreten, weil hier die Einzellast  $0,56 \text{ t}$  statt der gleichförmigen Belastung  $0,36 \text{ t/m}$  angebracht ist, welches letztere bei der Berechnung von  $M_x$  angenommen wurde. Bei  $F'$  und  $F$  wirkt noch die zweite Last von  $3,24 \text{ t}$  mit, und ihre Resultante fällt mit der durch  $L$  gehenden Stützlinie der rechtsseitigen Kräfte zusammen, welche mit den Winddrücken  $= 0,11 \text{ t}$  und  $0,27 \text{ t}$  zusammengesetzt worden ist, so daß hierdurch eine geschlossene Stützlinie erhalten wird.

Die Durchbiegung der äußeren Balken für die ganze Schneebelastung darf nicht zu groß werden und ihre Berechnung ergibt sich (nach der Gewölbe-, Rahmen- und kontinuierlichen Berechnung

$$S. 88) \text{ aus } f_r \cdot J \cdot E = \frac{x \cdot M_r}{6 l_r} (2 l_r^2 - 3 x l_r + x^2) + \frac{x \cdot M_{r+1}}{6 l_r} (l_r^2 - x^2) + \frac{x \cdot M_r}{3 l_r} \left( l_r^2 + \frac{x^3}{l_r} - 2 x^2 \right) \text{ für}$$

die negative und positive Momentenfläche mit ihrem Seilpolygon und dem Horizontalschub  $J E$ . Wird diese Gleichung nach  $x$  abgeleitet, so erhält man den Ort der größten

$$\text{Durchbiegung aus } \frac{d f_r}{d x} = \frac{M_r}{2 l_r} \left( \frac{2 l_r^2}{3} - 2 x l_r + x^2 \right) + \frac{M_{r+1}}{2 l_r} \left( \frac{l_r^2}{3} - x^2 \right) + \frac{M_r}{l_r} \left( \frac{l_r^2}{3} + \frac{4 x^3}{3 l_r} - 2 x^2 \right) = 0 \text{ oder}$$

$$\text{für } M_1 = \frac{0,52 \cdot 9^2}{8} = 5,265 \text{ m/t, und } M_1 = M_2 = \frac{q l^2}{10} =$$

$$= \frac{0,52 \cdot 9^2}{10} = -4,212 \text{ m/t, } l = 9 \text{ m: } f = -\frac{4,212}{2 \cdot 9} \cdot$$

$$\cdot \left( \frac{2 \cdot 9^2}{3} - 2 x \cdot 9 + x^2 \right) - \frac{4,212}{2 \cdot 9} \left( \frac{9^2}{3} - x^2 \right) + \frac{5,265}{9} \cdot$$

$$\cdot \left( \frac{9^2}{3} + \frac{4 x^3}{3 \cdot 9} - 2 x^2 \right) = 0 \text{ oder bei Division mit } x: \frac{0,26 x^2}{3} -$$

$$- 1,17 x + 4,21 - \frac{3,16}{x} = 0. \text{ Für } x = 4,5 \text{ ist } f(x) = 0,$$

so daß die größte Durchbiegung (bei symmetrischer Belastung) in die Mitte fällt. Bei Einsetzung von  $x = 4,5$

$$\text{in obige Gleichung erhält man } f_r \cdot J E = -\frac{4,5 \cdot 4,212}{6 \cdot 9} \cdot$$

$$(2 \cdot 9^2 - 3 \cdot 4,5 \cdot 9 + 4,5^2) - \frac{4,5 \cdot 4,212}{6 \cdot 9} (9^2 - 4,5^2) +$$

$$+ \frac{4,5 \cdot 5,265}{3 \cdot 9} \left( 9^2 + \frac{4,5^3}{9} - 2 \cdot 4,5^2 \right) = 1,777 \text{ und mit}$$

$$E = 2\,000\,000 \text{ t/qm, } J \text{ angenähert } = \frac{b \cdot h^3}{12} = \frac{20 \cdot 43^3}{12} =$$

$$= \frac{132\,512 \text{ m}^4}{100\,000\,000}, f = \frac{1,777 \cdot 1000 \text{ mm}}{0,001325 \cdot 2\,000\,000} = 0,7 \text{ mm.}$$

Dies gilt für die mittlere von drei Oeffnungen (bzw. beliebig vielen Oeffnungen), und für die erste erhält man mit  $M_1 = 5,265 \text{ m/t}$ ,  $M_1 = 0$ ,  $M_2 = -4,212 \text{ m/t}$ :

$$\frac{0,26 x^2}{3} - 1,404 x + \frac{9,48}{x} = 0, \text{ und für } x = \begin{cases} 3 \\ 2,8 \end{cases} \text{ ist}$$

$$f(x) = \begin{cases} -0,27 \\ +0,14 \end{cases} \text{ somit } x = 2,8 + \frac{0,14 \cdot 2}{0,41} = 2,87 \text{ mit}$$

$$f(x) = + 0,01 \text{ sowie } f \cdot J E = 23,100 \text{ und } f = \frac{23,100 \cdot 1000}{0,001325 \cdot 2\,000\,000} = 8,7 \text{ mm} \text{ somit weniger als } 10 \text{ mm.}$$

Wird das Trägheitsmoment mit Weglassung des Zugbetonquerschnittes und  $n$ facher Berücksichtigung des Eisenbetonquerschnittes berechnet, so erhält man aus A 1 b:

$$x^2 + \frac{2 n (f_e + f'_e)}{b} \cdot x = \frac{2 n}{b} (h \cdot f_e + h' \cdot f'_e) \text{ oder } x^2 +$$

$$\frac{2 \cdot 15}{20} (13,6 + 9,0) = \frac{2 \cdot 15}{20} (39 \cdot 13,6 + 3 \cdot 9) \text{ oder } x^2 +$$

$$+ 33,9 x = 836 \text{ und } x = -16,95 + \sqrt{16,95^2 + 836} =$$

$$= 16,6 \text{ cm, somit } J = \frac{20 \cdot 16,6^3}{3} + 15 \cdot 13,6 \cdot 22,4^2 +$$

$$15 \cdot 9,0 \cdot 13,6^2 = 157\,900, \text{ so daß } f = \frac{1325}{1579} \cdot 8,7 = 7,3 \text{ mm}$$

wird.

Anmerkung: Die vorliegende Berechnung eines Zweigelenrahmens entspricht den Formeln und Beispielen in der von mir veröffentlichten Gewölbe-, Rahmen- und kontinuierlichen Berechnung von 1911, und in dem Beispiel auf S. 14 und 39 wurde dasselbe Ergebnis erhalten wie bei einer Berechnung mit Verschiebungsplänen und nach den Formeln für virtuelle Verschiebung von Professor Dr. Müller-Breslau (s. S. 7 (33) und (34), statt  $\Delta S'' \Delta s$  muß es dort heißen  $\Sigma S'' \Delta s$ ). Die oben angewendeten Formeln ergeben sich aber auch aus der Formel auf S. 8 (34) mit  $N' = 0$  und  $ds$  statt  $dx$

(s. auch S. 8 (39), wo  $L = \int \frac{\sigma \Delta ds_v}{ds_v} \cdot dV$  statt  $\Delta s_v$  stehen

sollte), wenn  $M = M_0 - X \cdot y$  und  $M' = \frac{\partial M}{\partial X} = -y$

in  $L' = \int \frac{M M' ds}{E J}$  eingesetzt wird, und man alsdann

$$\text{erhält: } L' = 1 \cdot \Delta l = \int \frac{(M_0 - X \cdot y)}{E J} \cdot (-y) ds = 0 \text{ (weil}$$

beim Zweigelenrahmen  $\Delta l = 0$  wird), und hieraus

$$\int \frac{M_0}{E J} \cdot y \cdot ds = \int \frac{X \cdot y^2}{E J} \cdot ds \text{ oder } X = \int \frac{M_0 y ds}{E J} : \int \frac{y^2 ds}{E J},$$

was dem Summenausdruck  $X = \frac{\Sigma F'_0 y_s}{T_x}$  in obigem Bei-

spiel entspricht ( $X = \frac{V \cdot G \cdot z_u \cdot l}{2 T_x}$  ist der Summenaus-

druck der Vertikalkraft für den Winddruck).

In der Einleitung zu obiger Veröffentlichung sind noch zwei Druckfehler zu berichtigen, indem es nach Formel (25)

heißt  $\frac{ds}{r} = -d\varphi$  und auf S. 9:  $\delta = \frac{1}{E} \Sigma \frac{S' \cdot S^0 \cdot s}{F}$ ,

und die auf S. 12 angegebenen Formeln für den eingespannten Rahmen sind in den neueren Methoden der Festigkeitslehre 1904, S. 122, wie oben abgeleitet worden (S. 75, Zeile 6, sollte 0,8362 statt 0,8632 stehen).

### III. Berechnung einer quadratischen Unterlagsplatte für einen Wasserbehälter.

#### 1. Ableitung der Formeln und Berechnung für die quadratische Platte.

In meinen Veröffentlichungen über die Berechnung von Eisenbetonkonstruktionen von 1906 und 1910 habe ich auch auf die Berechnung einer rechteckigen Platte hingewiesen, und zwar wenn sie auf vier Seiten aufliegt, und man erhält alsdann für Schnitt  $AB$  (bei Verteilung des Gegendruckes auf die vier Seiten) mit  $p \text{ kg/qm}$  Belastung:

$$M = (a \cdot b \cdot p) \frac{b}{2(a+b)} \cdot \frac{a}{2} + (a \cdot b \cdot p) \frac{a}{2(a+b)} \cdot \frac{a}{4} -$$

$$- \frac{a \cdot b \cdot p}{2} \cdot \frac{a}{4} = \frac{a^2 b^2 p}{8(a+b)} \text{ und pro Meter Länge}$$

$$M = \frac{a^2 b p}{8(a+b)} \text{ (für Schnitt } CD \text{ ist } a \text{ mit } b \text{ zu ver-}$$

tauschen).



Für eine Einzellast  $P$  in der Mitte ergibt sich ebenso:  

$$M = \frac{P \cdot b}{2(a+b)} \cdot \frac{a}{2} + \frac{P \cdot a}{2(a+b)} \cdot \frac{a}{4} = \frac{P \cdot a}{4(a+b)} \left( b + \frac{a}{2} \right)$$
 und weil der Gegendruck des Randes hauptsächlich in der Mitte der Seiten wirkt, während die Ecken sich nach oben abheben, so kann  $M = \frac{P \cdot a \cdot b}{4(a+b)}$  gesetzt werden (pro Meter Länge  $= \frac{P \cdot a}{4(a+b)}$ ). Für Einspanntsein der Platte kann mit  $\frac{2}{3} M$  in der Mitte gerechnet werden (s. Elastizität und Festigkeitslehre von Bach 1894), so daß am Rand  $\frac{1}{3} M$  übrig bleibt.

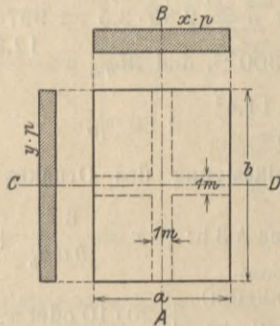


Abb. 23.

Die Verteilung der Belastung in beiden Richtungen ergibt sich aus der gleichgroßen Durchbiegung in denselben, und diese setzt sich zusammen aus den zwei Durchbiegungen in den Richtungen  $CD$  und  $AB$ , und hierbei ist die Auflagerung auf vier Seiten durch Anwendung der obigen Formeln für  $M$  zu berücksichtigen, und wenn  $x + y = 1$  der Gesamtbelastung entspricht, so erhält man als teilweises Moment der Platte  $x \cdot M_1 = \frac{x a^2 b p}{8(a+b)}$  und  $y \cdot M_2 = \frac{y b^2 a p}{8(a+b)}$  pro 1<sup>m</sup> Breite, und hierfür in beiden Fällen dieselbe Durchbiegung.

Aus der Formel  $f = \frac{5 M l^2}{48 E J}$  für Durchbiegung bei gleichförmiger Belastung ergibt sich daher  $f = \frac{5 x M_1 a^2}{48 E J_1} = \frac{5 y M_2 b^2}{48 E J_2}$ , und weil  $J$  in beiden Richtungen für die Breite  $1 = \frac{1 \cdot d^3}{12}$  wird, so erhält man bei Einsetzung von  $x M_1$  und  $y M_2$  das Verhältnis  $\frac{x}{y} = \frac{b^3}{a^3}$  und für  $x + y = 1$  die Koeffizienten  $x = \frac{1}{1 + \frac{a^3}{b^3}}$  und  $y = \frac{1}{1 + \frac{b^3}{a^3}}$  (bei Nichtberücksichtigung der Auflagerung auf vier Seiten erhält man für  $M_1 = \frac{p a^2}{8}$  und  $M_2 = \frac{p b^2}{8}$  die Koeffizienten  $x = \frac{1}{1 + \frac{a^4}{b^4}}$  und  $y = \frac{1}{1 + \frac{b^4}{a^4}}$ ). Für eine Einzellast  $P$  in der Mitte der Platte ist ebenso mit  $x \cdot M_1 =$

$= \frac{x a P}{4(a+b)}$  und  $y \cdot M_2 = \frac{y b P}{4(a+b)}$  zu rechnen, und aus der Durchbiegungsformel  $f = \frac{P \cdot l^3}{48 E J} = \frac{M l^2}{12 E J}$  (für  $M = \frac{P \cdot l}{4}$ ) erhält man  $f = \frac{x M_1 a^2}{12 E J_1} = \frac{y M_2 b^2}{12 E J_2}$ , und bei Einsetzung von  $x M_1$  und  $y M_2$  ergibt sich (für  $J = \frac{1 \cdot d^3}{12}$  in beiden Richtungen)  $\frac{x}{y} = \frac{b^3}{a^3}$ , und hieraus mit  $x + y = 1$  dasselbe  $x$  und  $y$  wie für gleichförmige Belastung.

Wird der Auflagerdruck auf alle 4 Seiten verteilt, so erhält man die Auflagerdrücke in den Richtungen  $CD$  und  $AB$  aus:  $\frac{b}{a+b} \cdot A$  und  $\frac{a}{a+b} \cdot A$ , wo  $A =$  Auflagerdruck in der betreffenden Richtung ist.

Die als Unterlagsplatte für einen Wasserbehälter aus Eisenbeton dienende quadratische Platte mit 10,96<sup>m</sup> Lichtweite soll nun mit obigen Formeln berechnet werden, und aus  $M = \frac{x \cdot p \cdot a^2}{8}$  mit  $x = \frac{1}{1 + \frac{a^3}{b^3}}$  und  $M = \frac{y p b^2}{8}$

mit  $y = \frac{1}{1 + \frac{b^3}{a^3}}$  erhält man für  $b = a$  in beiden

Richtungen  $M = \frac{p l^2}{16}$ . Bei Annahme einer vollständigen

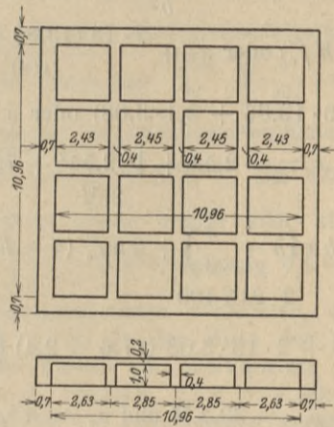


Abb. 24.

Einspannung in den Randträgern wäre in der Mitte  $\frac{2}{3} M$  und am Auflager  $\frac{1}{3} M$  anzunehmen, somit  $M_m = \frac{p l^2}{24}$  und  $M_a = \frac{p l^2}{48}$ . Ist jedoch die Einspannung nur teilweise vorhanden, so können die Rippen mit einem Mittelwert  $M_m = \frac{1}{2} \left( \frac{p l^2}{16} + \frac{p l^2}{24} \right) = \text{rd. } \frac{p l^2}{20}$  berechnet werden, während  $M_a = \frac{p l^2}{48}$  beizubehalten ist.

Für die Berechnung der Platte von 20<sup>cm</sup> Stärke gilt nicht nur die quadratische Auflagerung, sondern auch die Kontinuität derselben, und für  $q$  kg/qm Gesamtbelastung erhält man als Mittelwerte:

$$M_m = \frac{1}{2} \left( \frac{q l^2}{16} + \frac{q l^2}{12} \right) = \frac{q l^2}{13,7} \text{ und } M_a = \frac{1}{2} \left( 0 + \frac{q l^2}{9} \right) = \frac{q l^2}{18} \text{ bei freier Auflagerung}$$

sowie  $M_m = \frac{1}{2} \left( \frac{q l^2}{24} + \frac{q l^2}{12} \right) = \frac{q l^2}{16} \text{ und } M_a = \frac{1}{2} \left( \frac{q l^2}{48} + \frac{q l^2}{9} \right) = \frac{q l^2}{15,3} \text{ bei ganzer Einspannung.}$

Für teilweises Eingespanntsein kann daher in der Mitte und am Auflager der Kassetten mit  $M_m = M_a = \frac{q l^2}{15}$  gerechnet werden.

Bei einer Plattenstärke von 20 cm ist das Eigengewicht  $g = 0,2 \cdot 2400 = 480 \text{ kg/qm}$ , und die Nutzlast ist (bei 3,2 m Höhe des Wasserbehälters)  $p = 3500 \text{ kg/qm}$ , oder zusammen  $q = 3,98 \text{ t/qm}$ . Hierfür ist  $M_{qm} = M_{qa} = \frac{q l^2}{15} = \frac{3,98 \cdot 2,85^2}{15} = 2,154 \text{ m/t}$ , und nach A 1 b:

$$x = \sqrt{\frac{6 M}{7 b \sigma_b}} = \sqrt{\frac{6 \cdot 215400}{7 \cdot 100 \cdot 40}} = 6,80 \text{ cm}, \quad h = \frac{8}{3} x =$$

= rd. 18,2 cm,  $f_e = \frac{b \cdot x}{50} = \frac{100 x}{50} = 13,6 \text{ qcm}$ , so daß bei 20 cm Plattenstärke  $9 \text{ } \phi 14 = 9 \cdot 1,54 = 13,86 \text{ qcm}$  genügen.

Hiervon sind sieben Eisen nach oben abzubiegen und zwei gehen oben und unten ganz durch. Die Abbiegung von vier und drei Eisen kann bei ca.  $\frac{2,45}{8} = 30 \text{ cm}$  und

$$\frac{2,45}{4} = 60 \text{ cm Abstand vom Balken angenommen werden.}$$

Die Maximalbeanspruchungen der kreuzweise armierten Platte ergeben sich nach A 2 a mit  $M = 2,154 \text{ m/t}$ ,  $f_e = 13,86 \text{ qcm}$ ,  $f'_e = 3,08 \text{ qcm}$ ,  $h = 17,6 \text{ cm}$  (für die Berechnung der sich kreuzweise berührenden Eisen),  $h' = 2,4 \text{ cm}$ ,  $b = 100 \text{ cm}$ ,  $n = 15$  aus

$$x^2 + \frac{2 n (f_e + f'_e)}{b} \cdot x = \frac{2 n}{b} (h f_e + h' f'_e) \text{ oder } x^2 + \frac{2 \cdot 15 (13,86 + 3,08)}{100} \cdot x = \frac{2 \cdot 15}{100} (17,6 \cdot 13,86 + 2,4 \cdot 3,08) \text{ oder } x^2 + 5,08 x = 75,40 \text{ oder } x = -2,54 + \sqrt{2,54^2 + 75,40} = 6,51 \text{ cm.}$$

$$\text{Ferner ist } \sigma_b = \frac{2 M}{b x \left( h - \frac{x}{3} \right) + 2 n f'_e (h - h') \left( 1 - \frac{h'}{x} \right)} = \frac{2 \cdot 215400}{100 \cdot 65,1 (17,6 - 2,17) + 2 \cdot 15 \cdot 3,08 (17,6 - 2,4) \left( 1 - \frac{2,4}{6,51} \right)}$$

$$= \frac{430,800}{10,05 + 0,89} = 39,4 \text{ kg und } \sigma_e = n \sigma_b \left( \frac{h}{x} - 1 \right) = 15 \cdot 39,4 \left( \frac{17,6}{6,51} - 1 \right) = 981 \text{ kg. Die Platte genügt}$$

um so mehr, als die Kontinuität (wegen der Querrippen) wenig Einfluß hat und daher auch mit  $\frac{q l^2}{16}$  gerechnet werden kann.

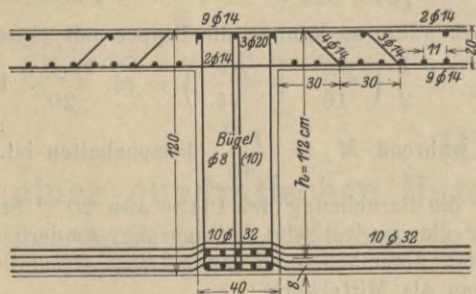


Abb. 25.

Die Berechnung der Rippen geschieht mit  $\frac{l}{3}$  Plattenbreite bzw. dem kleineren Abstand derselben = 2,85 m. Das Moment des mittleren Plattenbalkens ist

$M_{qm} = \frac{q l^2}{20}$  und weil als Biegelinie in beiden Richtungen eine Parabel angenommen werden kann, so erhält man als Moment der seitlichen Balken  $M_{qm} \left( 1 - \frac{x_1^2}{l_1^2} \right) = \frac{q l^2}{20} \left[ 1 - \left( \frac{1}{2} \right)^2 \right] = \frac{3 q l^2}{80}$ , wenn  $x_1$  = Abstand der Balken von der Mitte und  $l_1 = \frac{l}{2}$  bzw.  $= \frac{a}{2}$  und  $= \frac{b}{2}$  der halben Stützweite entspricht. Nach einer vorläufigen Berechnung aus  $\sigma_e f_e = \frac{M}{h - \frac{d}{2}}$  ist als Gesamthöhe

120 cm anzunehmen. Hierfür erhält man vom Eigengewicht  $g = 2,85 \cdot 0,2 \cdot 2400 + 0,4 \cdot 1,0 \cdot 2400 = 2330 \text{ kg/m}$  und von der Nutzlast  $p = 2,85 \cdot 3,5 = 9970 \text{ kg/m}$ , somit zusammen  $q = 12300 \text{ kg}$ , und  $M_{qm} = \frac{12,3 \cdot 11,4^2}{20} = 80 \text{ m/t}$  bzw.  $= \frac{3 \cdot 12,3 \cdot 11,4^2}{80} = 60 \text{ m/t}$ .

Bei Vernachlässigung des Druckes im Steg erhält man angenähert aus A 3 b:  $16 x = \frac{6 M}{b d \sigma_b} + d \left( 11 - \frac{2 d}{x} \right)$

$$\text{oder } 16 x = \frac{6 \cdot 8000000}{285 \cdot 20 \cdot 40} + 20 \cdot 10 \text{ oder } x = 25,7 (22,4) \text{ cm,}$$

$$h = \frac{8}{3} x = 68,6 (59,7) \text{ cm, } 25 f_e = b d \left( 1 - \frac{d}{2 x} \right) = 285 \cdot 20 \left( 1 - \frac{20}{2 \cdot 25,7 (22,4)} \right) \text{ oder } f_e = 139,3 (126,2) \text{ qcm.}$$

Für  $h_1 = 120 - 8 = 112 \text{ cm}$  wird angenähert

$$f_{e1} = \frac{f_e \left( h - \frac{d}{2} \right)}{h_1 - \frac{d}{2}} = \frac{139,3 (68,6 - 10)}{112 - 10} = 80,1 \text{ qcm}$$

(bzw.  $= \frac{126,2 (59,7 - 10)}{112 - 10} = 61,5 \text{ qcm}$ ). Es genügen

daher im ersten Fall  $10 \text{ } \phi 32 = 80,4 \text{ qcm}$  und im zweiten Fall wären acht ausreichend. Zur Erhöhung der Einspannung in den Randträgern sollen jedoch gleichfalls  $10 \text{ } \phi 32$  angenommen werden. Das Einspannmoment ist

mit  $M_{qa} = -\frac{q l^2}{48}$  zu berechnen, somit ist  $M_{qa} = \frac{12,3 \cdot 11,4^2}{48} = -33,3 \text{ m/t}$  und man erhält oben Zug und

unten Druck, so daß nur der rechteckige Querschnitt mit 120 cm Höhe und 40 cm Breite mitwirkt und hierfür nach

$$\text{A 1 b: } x = \sqrt{\frac{6 M}{7 b \cdot \sigma_b}} = \sqrt{\frac{6 \cdot 3330000}{7 \cdot 40 \cdot 40}} = 42,24 \text{ cm,}$$

$$h = \frac{8}{3} x = 112,6 \text{ cm, } f_e = \frac{b \cdot x}{50} = \frac{40 \cdot 42,24}{50} = 33,8 \text{ qcm}$$

ist und beim Aufbiegen von  $5 \text{ } \phi 32$  eine Gesamthöhe von 120 cm ausreicht.

Der Auflagerdruck ist  $= \frac{12,3 \cdot 11,4}{2} = 70,11 \text{ t}$  und

bei vierseitiger Auflagerung (mit  $a = b$ )  $= \frac{a}{a + b} \cdot 70,11 =$

$$= \frac{70,11}{2} = 35,06 \text{ t. Die Schubspannung ist } \tau_0 =$$

$$= \frac{Q}{c \left( h - \frac{d}{2} \right)} = \frac{35060}{(112 - 10) 40} = 8,60 \text{ kg und die zu-$$

lässige Schubspannung von 4,5 kg wird erreicht bei  $Q_x = \frac{4,5}{8,6} \cdot 35,06 = 22,53 \text{ t}$ , so daß man bei Voll-

belastung durch beide Wasserbehälter  $Q_x = 22,53 = q \left( \frac{l}{2} - (l - x_1) \right) \frac{1}{2} = 12,3 (x_1 - 5,7) \frac{1}{2}$  (für vierseitige Auflagerung) erhält, und hieraus  $x_1 = 9,36$  m und  $x = 11,4 - 9,36 = 2,04$  m. Die schiefe Zugspannung für die fünf abgelenkten Eisen wird alsdann

$$Z' = \frac{(\tau_0 - 4,5) x \cdot c}{2 \sqrt{2}} = \frac{(8,6 - 4,5) 204 \cdot 40}{2 \sqrt{2}} = 11\,830 \text{ kg}$$

und  $\sigma_e = \frac{11\,830}{5 \cdot 8,04} = 294 \text{ kg.}$

zur Unterkante des Trägers, und von hier aus die Vertikalen bis zur Nulllinie, durch deren Schnitt die abgelenkten Eisen zu legen sind.

Um das Zusammentreffen der Eisen in den Quertägern mit ihnen zu vermeiden, ist das letzte gegen die Mitte des Trägers verschoben worden, und auch die zwei mittleren sind etwas hereingertickt worden. Bei Berücksichtigung der Einspannung genügt trotzdem der Querschnitt  $f_e$  an den Abbiegungsstellen, indem das Verhältnis der Momente in der Mitte und an den Enden  $= \frac{q l^2}{20}$ :

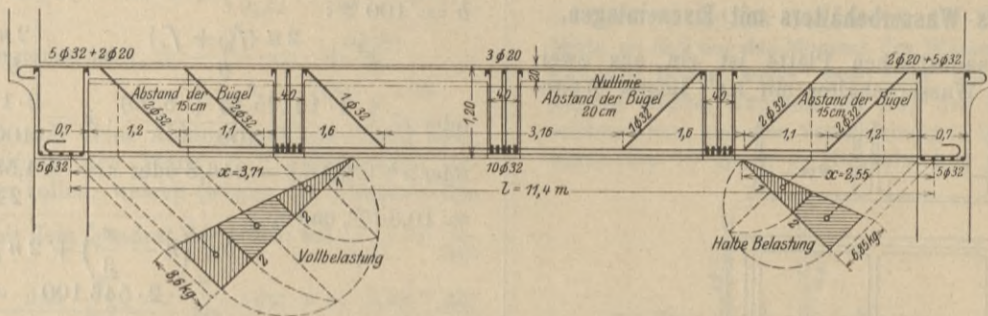


Abb. 26.

Es ist daher vorzuziehen, mit einer zulässigen Schubspannung von  $3 \text{ kg}$  zu rechnen und hierfür erhält man  $Q_x = \frac{3}{8,6} \cdot 35,06 = 12,23 = 12,3 (x_1 - 5,7) \frac{1}{2}$  oder  $x_1 = 7,69$  m und  $x = 11,4 - 7,69 = 3,71$  m, und hieraus  $Z' = \frac{(8,6 - 3) \cdot 371 \cdot 40}{2 \sqrt{2}} = 29\,390 \text{ kg}$  und  $\sigma_e = \frac{29\,390}{5 \cdot 8,04} = 731 \text{ kg}$ , zulässig  $1000 \text{ kg}$ .

Zur Vergleichung soll noch der linksseitige Wasserbehälter als gefüllt angenommen werden, und man erhält als

$$\text{Auflagerdruck} \left( 2,33 \cdot 5,7 + \frac{9,97 \cdot 5,7 \cdot 3}{4} \right) \frac{1}{2} = 27,95 \text{ t,}$$

ferner ist  $\tau_0 = \frac{27950}{(112 - 10) 40} = 6,85 \text{ kg}$  und  $Q_x =$

$$= \frac{3}{6,85} \cdot 27,95 = 12,24 =$$

$$= \left\{ 2,33 (x_1 - 5,7) + 42,62 - 9,97 (11,4 - x_1) \right\} \frac{1}{2}$$

oder  $x_1 = 8,85$  m und  $x = 11,4 - 8,85 = 2,55$  m sowie

$$Z' = \frac{(6,85 - 3) \cdot 255 \cdot 40}{2 \sqrt{2}} = 13900 \text{ kg} \text{ und } \sigma_e = \frac{13900}{3 \cdot 8,04} =$$

$$= 576 \text{ kg} \text{ für drei Eisen } \varnothing 32.$$

Durch Teilung der unter  $45^\circ$  bei  $x = 3,71$  m (bzw.  $2,55$  m) gezogenen Verteilungslinien im Verhältnis  $1:2:2$  (bzw.  $1:2$ ) und Errichtung von Loten bis zum Halbkreis über ihnen, und Beschreibung von Bögen um ihre Endpunkte erhält man die schraffierten Teile des Dreiecks mit  $8,6 \text{ kg}$  Höhe links (bzw.  $6,85 \text{ kg}$  Höhe rechts), und liegen diese Höhen in den Loten durch die Auflagerpunkte, während die schraffierten Teile nur bis zu denjenigen durch den Rand des Endquerträgers reichen. Aus den Schwerpunkten der schraffierten Dreiecke und Trapeze (bei letzteren annähernd in der Mitte liegend) ergeben sich nun die Schwerpunktlinien unter  $45^\circ$  Neigung bis

$$x^2 + 2x \left\{ \frac{n(f_e + f'_e)}{c} + d \left( \frac{b}{c} - 1 \right) \right\} = 2n \frac{(hf_e + h'f'_e)}{c} + d^2 \left( \frac{b}{c} - 1 \right) \text{ oder}$$

$$x^2 + 2x \left\{ \frac{15(80,4 + 9,4)}{40} + 20 \left( \frac{285}{40} - 1 \right) \right\} = 2 \cdot 15 \cdot \frac{(112 \cdot 80,4 + 5 \cdot 9,4)}{40} + 20^2 \left( \frac{285}{40} - 1 \right) \text{ oder}$$

$$x^2 + 2 \cdot 156,18x = 9239 \text{ oder } x = -156,18 + \sqrt{156,18^2 + 9239} = 27,2 \text{ cm.}$$

$= \frac{q l^2}{48}$  ist, und die positive Parabel mit  $\frac{48}{68}$  der ganzen

Höhe (s. Ber. der Eisenbetonkonstr. 1910, S. 32) eine

$$\text{Grundlinie} = l \cdot \sqrt{\frac{48}{68}} = 0,84 l = 0,84 \cdot 11,4 = 9,56 \text{ m}$$

hat. Die zulässige Abbiegungsstelle ergibt sich daher bei dem ersten Eisen aus  $\frac{9,56}{2} \sqrt{\frac{1}{10}} = 1,51$  m (vorhanden

$$1,58 \text{ m}) \text{ und bei den zwei nächsten Eisen aus } 4,78 \sqrt{\frac{3}{10}} =$$

$$= 2,62 \text{ m (vorhanden } 2,68 \text{ m)}. \text{ Die Adhäsionsspannung der}$$

$$\text{fünf geraden Eisen ergibt sich aus } \tau_1 = \frac{\tau_0 \cdot c}{n \pi d} =$$

$$= \frac{8,6 \cdot 40}{5 \cdot \pi \cdot 3,2} = 6,9 \text{ kg, zulässig } 7,5 \text{ kg/cm, und sind die-}$$

selben oben und unten vorhanden, und die oben durch-

gehenden  $2 \varnothing 20$  (in der Mitte des Trägers sind  $3 \varnothing 20$

vorhanden) dienen zur Aufhängung der Bügel, welche

abwechselnd vierfach ( $\varnothing 8 = 0,50 \text{ qcm}$ ) und zweifach

( $\varnothing 10 = 0,785 \text{ qcm}$ ) angenommen werden können. Ihr Ab-

stand ergibt sich aus  $\sigma_e f_e = e \cdot c \cdot \tau_0$  (s. Ber. der Eisen-

betonkonstr. 1910, S. 31) oder  $e = \frac{\sigma_e f_e}{c \cdot \tau_0} = \frac{1000}{40 \cdot 3}$

$$= \frac{(4 \cdot 0,5 + 2 \cdot 0,785)}{2} = 14,9 \text{ cm, wenn mit der zulässigen}$$

Schubspannung  $\tau_0 = 3 \text{ kg}$  gerechnet wird, und kann daher

außen der Abstand  $e = 15 \text{ cm}$  gewählt werden, während

in der Mitte  $20 \text{ cm}$  genügen (da  $\tau_0$  abnimmt).

Die in beiden Richtungen sich kreuzenden fünf Eisen

liegen in derselben Höhe, was dadurch erreicht wird, daß

sie an der Kreuzungsstelle zweimal abgelenkt werden,

und mit ihrer Abbiegung über die fünf gerade durch-

gehenden Eisen weggehen. Die Plattenbalken können dann

in allen Fällen mit denselben Werten berechnet werden,

und man erhält nach A 3 a für  $M = 80,0 (60,0) \text{ m}^2 \text{ t,}$

$f_e = 10 \varnothing 32 = 80,4 \text{ qcm, } f'_e = 3 \varnothing 20 = 9,4 \text{ qcm, } h =$

$= 112 \text{ cm, } h' = 5 \text{ cm (an der Berührungsstelle der drei}$

Eisen  $\varnothing 20), b = 285 \text{ cm, } c = 40 \text{ cm, } d = 20 \text{ cm:}$

Ferner ist

$$\sigma_b = \frac{3M}{bxd + nf_e \left(\frac{h}{x} - 1\right) (3h - 2d - x) + nf'_e \left(1 - \frac{h'}{x}\right) (x + 2d - 3h)}$$

$$= \frac{3 \cdot 8\,000\,000 (6\,000\,000)}{285 \cdot 27,2 \cdot 20 + 15 \cdot 80,4 \left(\frac{112}{27,2} - 1\right) (3 \cdot 112 - 2 \cdot 20 - 27,2) + 15 \cdot 9,4 \left(1 - \frac{5}{27,2}\right) (27,2 + 2 \cdot 20 - 35)}$$

$$= \frac{2400,0000 (1800,0000)}{15,50 + 101,2 + 0,60} = 20,5 (15,4) \text{ kg} \text{ und } \sigma_e = n \sigma_b \left(\frac{h}{x} - 1\right) = 15 \cdot 20 \left(\frac{112}{27,2} - 1\right) = 959 (720) \text{ kg.}$$

## 2. Berechnung des Wasserbehälters mit Eiseneinlagen.

Auf dieser quadratischen Platte ist ein aus zwei Teilen bestehender Wasserbehälter mit 10 m lichter Weite

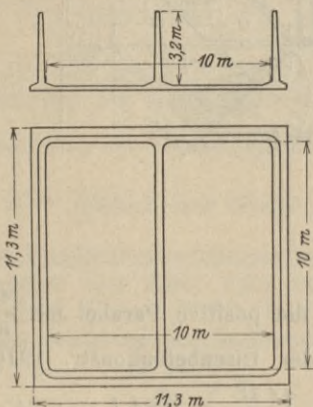


Abb. 27 und 28.

und 3,2 m lichter Höhe aufzustellen, und soll derselbe auf einer Asphaltunterlage ruhen und auch aus Eisenbeton hergestellt werden.

Am Fuße des obengezeichneten Behälters erhält man einen Druck von 32 cdm Wasser = 32 kg/qdm, und für die ganze Höhe ein gleichschenkelig rechtwinkeliges Prisma von  $\frac{32 \cdot 32}{2} = 512 \text{ kg}$  Druck, dessen Resultante durch den Schwerpunkt des Dreiecks geht und ein Moment  $M = \frac{5,1 \cdot 3,2}{3} = 5,461 \text{ m/t}$  pro Meter Breite veranlaßt.

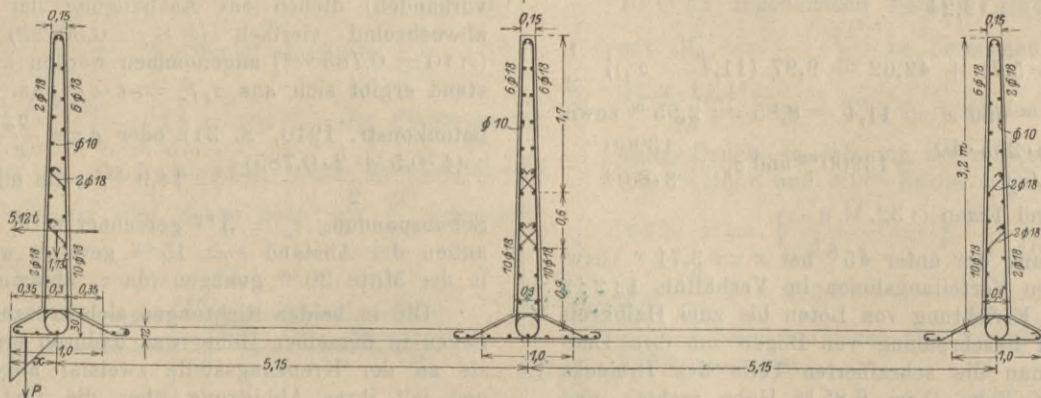


Abb. 29.

Die untere Stärke der Wand mit Eiseneinlagen ergibt sich nach A 1 b aus:  $x = \sqrt{\frac{6M}{7b\sigma_b}} = \sqrt{\frac{6 \cdot 5,461 \cdot 100}{7 \cdot 100 \cdot 40}} = 10,82 \text{ cm}$ ,  $h = \frac{8}{3} x = 28,8 \text{ cm}$ ,  $f_e = \frac{bx}{50} = \frac{100 \cdot x}{50} = 21,64 \text{ qcm}$ , so daß 10  $\varnothing$  18 = 25,45 qcm bei 30 cm Stärke genügen.

Werden außen noch 2  $\varnothing$  18 pro Meter Breite eingelegt, so erhält man nach A 2 a für  $M = 5,461 \text{ m/t}$ ,  $h = 28 \text{ cm}$ ,  $h' = 2 \text{ cm}$ ,  $f_e = 25,45 \text{ qcm}$ ,  $f'_e = 5,09 \text{ qcm}$ ,

$b = 100 \text{ cm}$ :

$$x^2 + \frac{2n(f_e + f'_e)}{b} \cdot x = \frac{2n}{b} (hf_e + h'f'_e)$$

$$\text{oder } x^2 + \frac{2 \cdot 15 (25,45 + 5,09)}{100} \cdot x = \frac{2 \cdot 15}{100} (28 \cdot 25,45 + 2 \cdot 5,09)$$

$$\text{oder } x^2 + 9,16x = 216,8 \text{ oder } x = -4,58 + \sqrt{4,58^2 + 216,8} = 10,84 \text{ cm, und } \sigma_b = \frac{3M}{bx \left(h - \frac{x}{3}\right) + 2nf'_e (h - h') \left(1 - \frac{h'}{x}\right)}$$

$$= \frac{100 \cdot 10,84 (28 - 3,61) + 2 \cdot 15 \cdot 5,09 (28 - 2) \left(1 - \frac{2}{10,84}\right)}{2 \cdot 546\,100} = \frac{109,2200}{2,64 + 0,32} = 36,9 \text{ kg}$$

sowie  $\sigma_e = n \sigma_b \left(\frac{h}{x} - 1\right) = 15 \cdot 36,9 \left(\frac{28}{10,84} - 1\right) = 876 \text{ kg.}$

Die Mittelwand wird bei einseitiger Füllung des Wasserbehälters auf beiden Seiten in derselben Weise beansprucht, so daß man bei doppelter Armierung aus A 2 c mit  $f_e = f'_e$ ,  $p = 1$ ,  $h' = 2 \text{ cm}$ ,  $b = 100 \text{ cm}$  und

$$\sigma_b = 40 \text{ kg} \text{ erhält: } r = 37,5 \cdot \frac{p}{n} - 1 = \frac{37,5 \cdot 1}{15} - 1 = 1,5$$

ferner ist  $x^2 \left(7 + \frac{8}{r}\right) - \frac{3h'x}{r} = \frac{6M}{b\sigma_b}$

$$\text{oder } 18,5x^2 - 3 \cdot 2x = \frac{6 \cdot 1,5 \cdot 546\,100}{100 \cdot 40} \text{ oder } x^2 - 0,324x = 66,5 \text{ oder } x = 0,162 + \sqrt{0,162^2 + 66,5} =$$

$$= 8,32 \text{ cm, und } h = \frac{8}{3} x = 22,2 \text{ cm}$$

sowie  $n f'_e \left(1 - \frac{h'}{x}\right) \cdot (h - h') = \frac{M}{\sigma_b} - \frac{bx}{2} \left(h - \frac{x}{3}\right)$  oder  $15 f'_e \left(1 - \frac{2}{8,32}\right) \cdot (22 - 2) = \frac{546\,100}{40} - \frac{100 \cdot 8,32}{2} \left(22,2 - \frac{8,32}{3}\right)$  oder  $f'_e = 59,4 - 35,2 = 24,2 \text{ qcm}$ . Die Mittelwand kann daher bei 30 cm unterer Stärke mit 10  $\varnothing$  18 auf beiden Seiten ausgeführt werden, und man erhält hierfür nach obigen Formeln mit  $M = 5,461 \text{ m/t}$ ,  $h = 28 \text{ cm}$ ,  $h' = 2 \text{ cm}$ ,

$$f_e = f'_e = 25,45 \text{ qcm}, b = 100 \text{ cm}: x^2 + \frac{2 \cdot 15 \cdot 2 \cdot 25,45}{100} x =$$

$$= \frac{2 \cdot 15}{100} (28 + 2) \cdot 25,45 \text{ oder } x^2 + 15,27 x = 229,05$$

$$\text{oder } x = -7,635 + \sqrt{7,635^2 + 229,05} = 9,32 \text{ cm},$$

und ebenso ist

$$\sigma_b = \frac{2 \cdot 546100}{100 \cdot 9,32 \left(28 - \frac{9,32}{3}\right) + 2 \cdot 15 \cdot 25,45 (28 - 2) \left(1 - \frac{2}{9,32}\right)} =$$

$$= \frac{109,2200}{2,32 + 1,56} = 28,2 \text{ kg} \text{ und } \sigma_e = 15 \cdot 28,2 \left(\frac{28}{9,32} - 1\right) = 848 \text{ kg}.$$

$$\text{Die Schubspannung ist } \tau_0 = \frac{Q}{b \frac{7}{8} h} = \frac{5120}{100 \cdot \frac{7}{8} \cdot 28} =$$

= 2,1 kg, so daß zwar keine Abbiegungen notwendig sind, aber zur Versteifung der Wand 2·2 Abbiegungen angenommen werden sollen, welche (wegen der Abnahme des Wasserdruckes mit dem Quadrat der Höhe) bei  $\frac{x^2}{3,2^2} = \frac{8}{10}$

oder  $x = 2,86 \text{ m}$  und  $\frac{x^2}{3,2^2} = \frac{6}{10}$  oder  $x = 2,48 \text{ m}$  abgebogen werden können, und zur größeren Sicherheit erst bei  $x = 2,3 \text{ m}$  und  $1,7 \text{ m}$  (von oben her) abgebogen werden (da der Querschnitt nach oben kleiner wird, so erhält

man genauer  $\frac{x^2}{3,2^2} = \frac{6}{10} \left(1 + \frac{x}{3,2}\right) \frac{0,15}{0,30}$  oder  $x =$   
 = 2,76 und = 2,30 m).

Die untere Platte kann 12 cm stark gemacht werden, und liegt auf einer 3 cm starken Asphaltplatte, und weil sie die horizontale Gegenkraft des Wasserdruckes von 5,12 t aufzunehmen hat, so erhält man pro Meter Breite  $\frac{5120}{1000} = 5,12 \text{ qcm}$  Eisenquerschnitt, und es genügen daher 10  $\varnothing 10 = 7,85 \text{ qcm}$ , von welchen fünf unten und fünf oben einzulegen sind, und zwar in beiden Richtungen kreuzweise.

Der in Abb. 29 angenommene Fuß für die Wände ergibt sich aus der Annahme, daß bei einer Drehung der

Außenwand durch den Wasserdruck (wobei die Einspannung in den Seitenwänden und im Boden nicht berücksichtigt ist) kein größerer Druck als 10 kg/qcm auf den Asphalt ausgeübt wird. Aus der in Abb. 29 gezeichneten Druckverteilung erhält man daher  $\frac{2}{3} \cdot x \cdot P = 546100$

und  $\frac{100 \cdot x \cdot 10}{2} = P$  oder  $\frac{2}{3} x^2 \cdot \frac{1000}{2} = 546100$  und  $x = 40,5 \text{ cm}$ , vorhanden sind 50 cm.

Das Gewicht der Wand ist  $Q = \frac{0,45}{2} \cdot 3,2 \cdot 2400 =$   
 = 1730 kg, und der Gegendruck des Fußes liegt in dessen Mitte, so daß nur das Moment des Wasserdruckes = 5,461 m/t auf den Boden wirkt, und zwar nur als Druck auf die äußere Hälfte, während der Zug der inneren Hälfte nicht wirken kann, und eine Verschiebung in horizontaler Richtung durch die 10 Eisen  $\varnothing 10$  verhindert wird.

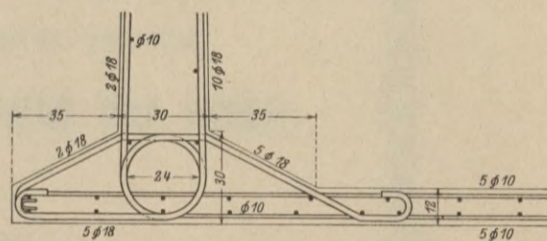


Abb. 30.

Dagegen werden die Spannungen in dem 1 m breiten Fuß durch die äußeren Kräfte bestimmt, und man erhält

hierfür  $\sigma = -\frac{Q}{b \cdot h} \left(1 \pm \frac{6e}{h}\right)$  mit dem Abstand der Resultante von der Mitte  $e = \frac{5,461}{1,73} = 3,16 \text{ m}$ , und hieraus

$$\sigma = -\frac{1730}{100 \cdot 100} \left(1 \pm \frac{6 \cdot 3,16}{100}\right) = -3,45 \text{ kg}, \text{ und hier-}$$

für genügen die vorhandenen 5  $\varnothing 18$ , welche entsprechend der Abb. 30 nach rechts oben und nach links unten abgebogen werden (auch die zwei äußeren werden in derselben Weise abgebogen).

Anmerkung: Mit Rücksicht auf die Wasserdichtigkeit des Betons wird bei Wasserbehältern gewöhnlich nur mit  $\sigma_e = 750 \text{ kg/qcm}$  Eisenbeanspruchung gerechnet, um das Auftreten von Rissen im Beton zu verhindern. Wird gleichzeitig mit einer zulässigen Betonbeanspruchung  $\sigma_b = 30 \text{ kg/qcm}$  gerechnet, so gelten dieselben Formeln wie auf S. 20—21, und man erhält für denselben Eisenquerschnitt eine untere Stärke der Wände von 35 cm (statt 30 cm). Bei der Ausführung wurde aus diesem Grunde ihr Anschluß an die untere Platte mehr abgerundet, sodaß die obigen zulässigen Beanspruchungen nicht überschritten werden, auch wurde die innere Seite des Wasserbehälters mit einem Glattstrich versehen.



... Anwendung durch den Wasserdruck ...

... Handlung erfolgt ...

... verbunden sind ...

... das Gewicht der Wand ...

... die ...

... die ...

... die ...

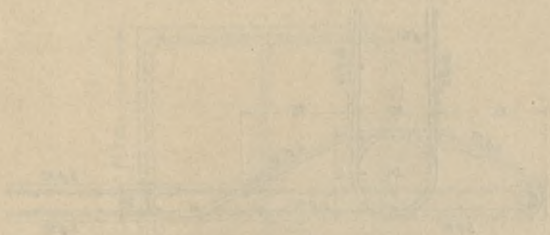


Abb. 20

... die ...

... die ...

... die ...

... die ...

... die ...

... die ...

... die ...

... die ...

... die ...

... die ...

... die ...

... die ...

... die ...

... die ...

... die ...

... die ...

... die ...

... die ...

... die ...

... die ...

... die ...

... die ...

... die ...

... die ...

... die ...

... die ...

... die ...

... = 25.10 ...

... = 1.15 ...

... = 1.15 ...

... = 1.15 ...

... = 1.15 ...

... = 1.15 ...

... = 1.15 ...

... = 1.15 ...

... = 1.15 ...

... = 1.15 ...

... = 1.15 ...

... = 1.15 ...

... = 1.15 ...

... = 1.15 ...

... = 1.15 ...

... = 1.15 ...

... = 1.15 ...

... = 1.15 ...

... = 1.15 ...

... = 1.15 ...

... = 1.15 ...

... = 1.15 ...

... = 1.15 ...

... = 1.15 ...

... = 1.15 ...

... = 1.15 ...

... = 1.15 ...

... = 1.15 ...

... = 1.15 ...



C. W. Kreidel's Verlag in Wiesbaden.

## Praktische Winke

zum

# Studium der Statik

und zur Anwendung ihrer Gesetze.

Ein Handbuch für Studierende und praktisch tätige Ingenieure.

Von

**Robert Otzen,**

Professor an der Königl. Technischen Hochschule zu Hannover.

Mit 95 Abbildungen im Texte.

1911.

— Preis gebunden 4 Mark 40 Pf. —

Der Verfasser will mit dem vorliegenden Werkchen erreichen, daß Studierende und praktische Ingenieure an ihre Aufgaben stets mit vollem Verständnis des inneren Zusammenhanges der Kräfte herantreten. Weiter will er erreichen, daß in den genannten Kreisen Klarheit herrsche über die Grenzen der Richtigkeit unserer Berechnungen, über die Genauigkeit der Annahmen und Ergebnisse. Was das Werkchen erstrebt, wird wohl jeder verständige Lehrer der Statik als seine stete Aufgabe betrachten und somit das Erscheinen des Werkes als Unterstützung seiner Arbeit begrüßen. Nach dem Gesagten ist ohne weiteres klar, daß das Buch nicht dazu bestimmt und geeignet ist, Statik zu lehren; es soll als Ergänzung neben anderweitiger Belehrung dienen und als Nachschlagebuch zur Erinnerung an etwa Vergessenes. Es umfaßt sechs Kapitel: Allgemeine Grundlagen; Gesetze des Gleichgewichtes; Statisch bestimmte Konstruktionen; Einflußlinien; Elastische Formänderungen; Statisch unbestimmte Konstruktionen. -- Das Buch kann bestens empfohlen werden.

*Th. Landsberg (Zentralblatt der Bauverwaltung, 4. Februar 1911).*



C. W. Kreidel's Verlag in Wiesbaden.

# Theorie der Verbundbauten in Eisenbeton und ihre Anwendung.

Von G. Barkhausen, Professor, Geheimer Regierungsrat.

(Aus: „Organ f. d. Fortschritte d. Eisenbahnwesens“.) 26 S. m. 17 Abbild. 31,5×24,5 cm. 1907.  
M. 2.—.

## Hilfsmittel für Eisenbetonberechnung.

Von Ad. Jöhrens, Beigeordneter.

(31 S. m. 22 Abbild. u. 11 farb. Taf.) 36,5×28 cm. 1908. In Mappe M. 4.60.

## Die Statik des Eisenbetonbaues. Elementares Lehrbuch zum Gebrauche an Schulen und zum Selbstunterricht.

Von Ottomar Schmiedel, Obergeringieur.

Mit 98 in den Text gedruckten Abbildungen und einem Anhang: Bestimmungen für die Ausführung von Konstruktionen aus Eisenbeton bei Hochbauten (amtliche Ausgabe). gr. Lex. 8.  
(VI u. 166 S.) 1908. M. 3.—.

## Zahlenbeispiel zur statischen Berechnung von massiven Dreigelenkbrücken vermittle Einflusslinien.

Von A. Teichmann, Ingenieur.

Bearb. nach den Grundzügen des Herrn Geh. Reg.-Rates G. Barkhausen, Prof. an der Kgl. Techn. Hochschule zu Hannover. Mit 29 Abbild. auf 4 lith. Taf. (32 S.) gr. 8. 1904. M. 2.40.

## Tabellen

zur

### Berechnung von Eisenbeton-Konstruktionen.

Zum praktischen Gebrauch

für

### Unternehmer, Techniker und Baubeamte

bearbeitet von Professor L. Landmann.

Lex. 8. 72 Seiten. 1910. M. 4.60.

## Tabellen

zur

### Berechnung von kontinuierlichen Balken in Eisenbeton und doppelt armierten Konstruktionen nebst mehreren Hilfstabellen für einfach armierte Konstruktionen.

Zum praktischen Gebrauch

bearbeitet von

Professor L. Landmann.

Biblioteka Politechniki Krakowskiej I. 5.40.



10000304054

5.61